

TEILCHENPHYSIK FÜR FORTGESCHRITTENE

Die starke Wechselwirkung und Quantenchromodynamik,
Teil II (in Anlehnung an Skript R. Klanner/T. Schoerner)

Olaf Behnke
Achim Geiser



Universität Hamburg, IExpPh
Sommersemester 2010

ÜBERBLICK

1. Die quantenmechanische Beschreibung von Elektronen
2. Feynman-Regeln und –Diagramme
3. Lagrange-Formalismus und Eichprinzip
4. QED

Einschub: Beschleuniger und Experimente

5. Starke Wechselwirkung und QCD
 - 5.1 Einleitung: Quarks und Farbe
 - 5.2 Einschub: Gruppentheorie und Anwendungen
 - 5.3 QCD: die Theorie der starken Wechselwirkung: SU(3)-Eichinvarianz, Gell-Mann-Matrizen, Masselosigkeit der Gluonen, Lagrange-Dichte der QCD, Renormierung, "running coupling", asymptotische Freiheit und Confinement
 - 5.4 Anwendung: Jets, Fragmentation, Entdeckung des Gluons, Messung des Gluonspins**
 - 5.5 Perturbative QCD: Wirkungsquerschnitte, Messung von α_s
 - 5.6 Tief-unelastische Streuung

5.4 Fragmentation+Jets

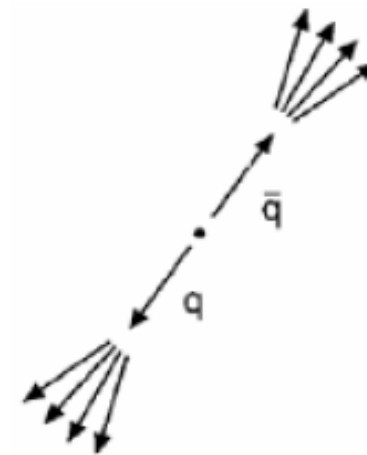
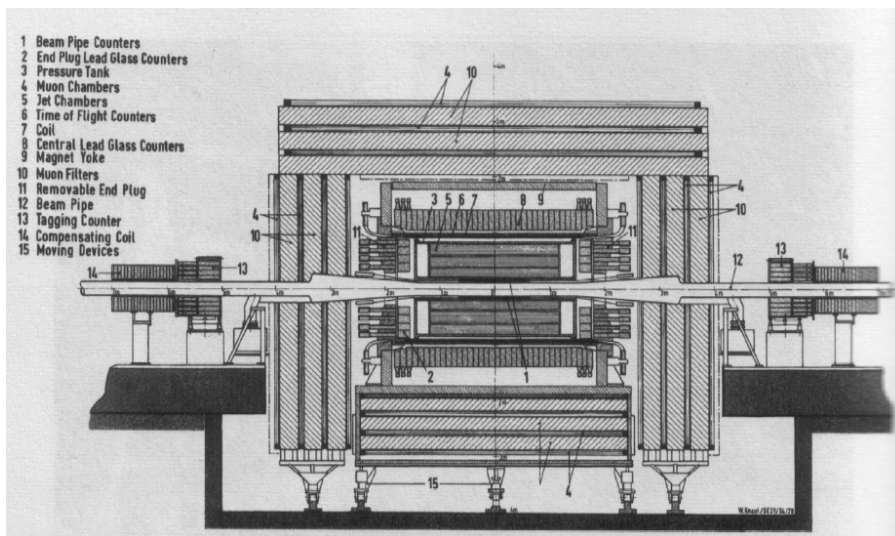
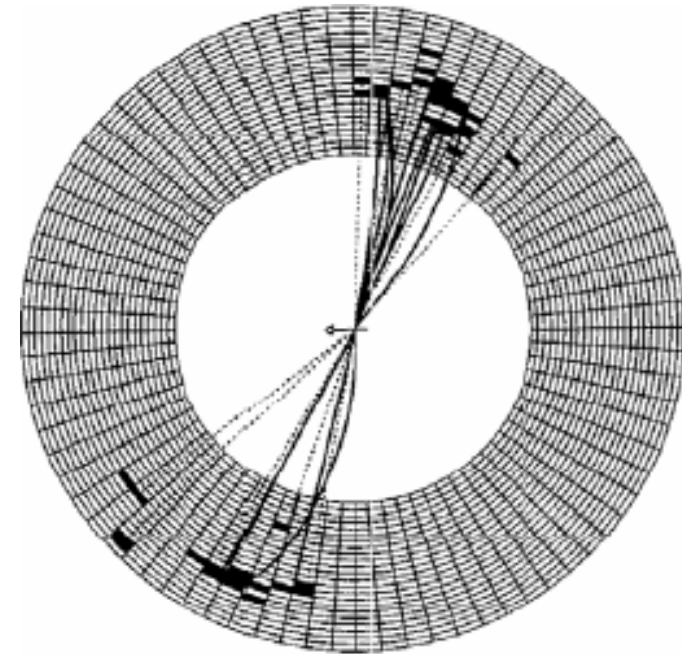
Wie sehen Detektoren Quarks und Gluonen?

- werden Quarks/Gluonen getrennt →
Abstrahlung von QCD-Feldquanten $g \rightarrow q\bar{q}$
mit kleinen ($\sim \Lambda=0.2 \text{ GeV}$) Transversalimpulsen
(Fragmentation)

→ für hohe Transversalimpulse → enges \vec{p}
Teilchenbündel (Jet), aus dem sich im Detektor
des Quarks/Gluon rekonstruieren lässt

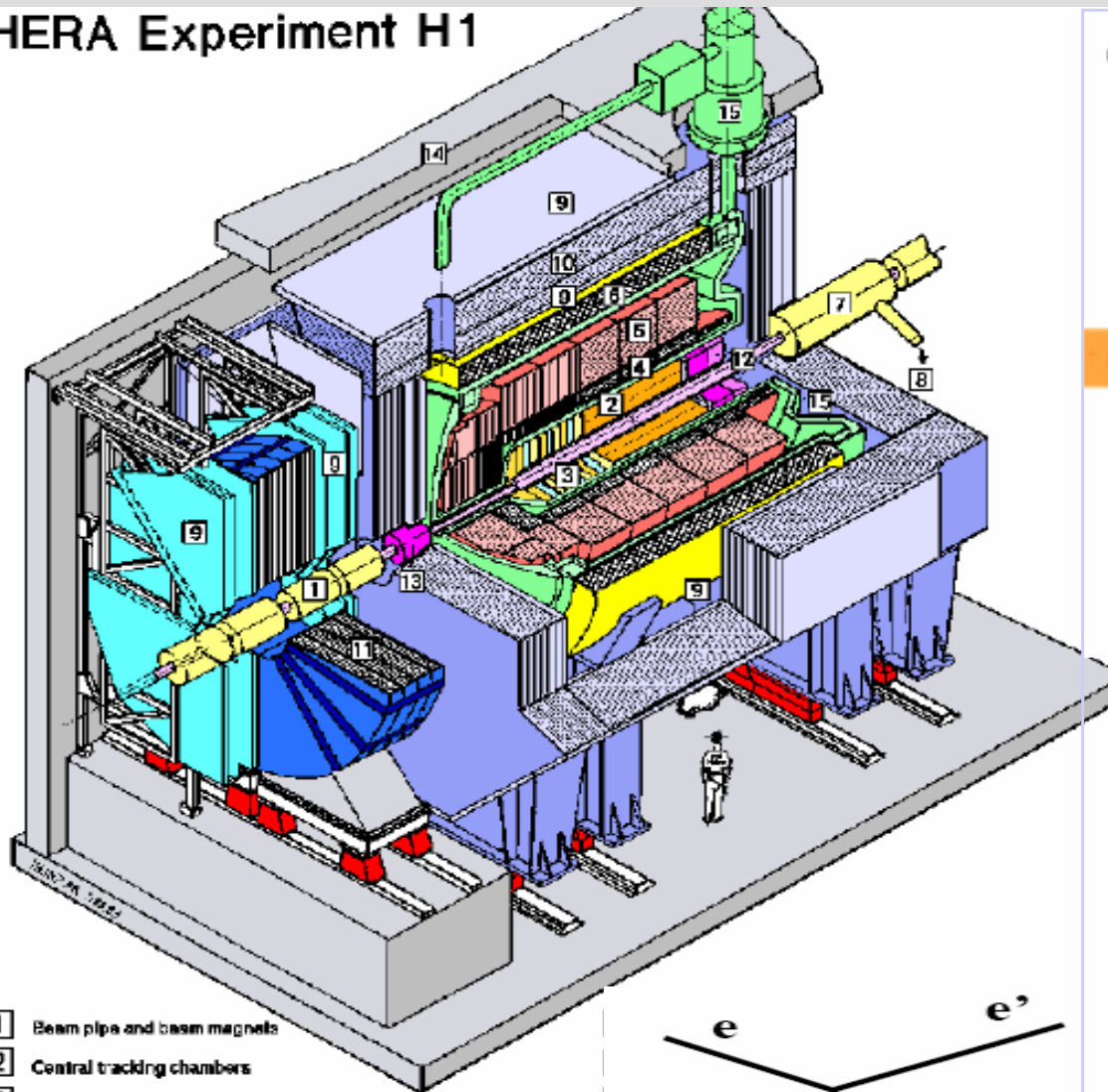
- Fragmentation = statistischer Prozess mit
großen Fluktuationen in Anzahl und Art der
Teilchen ($\pi^\pm, \pi^0, K^\pm, K^0, \dots p, n, \dots$)

→ Nachweis durch Spurdetektor und Kalorimeter

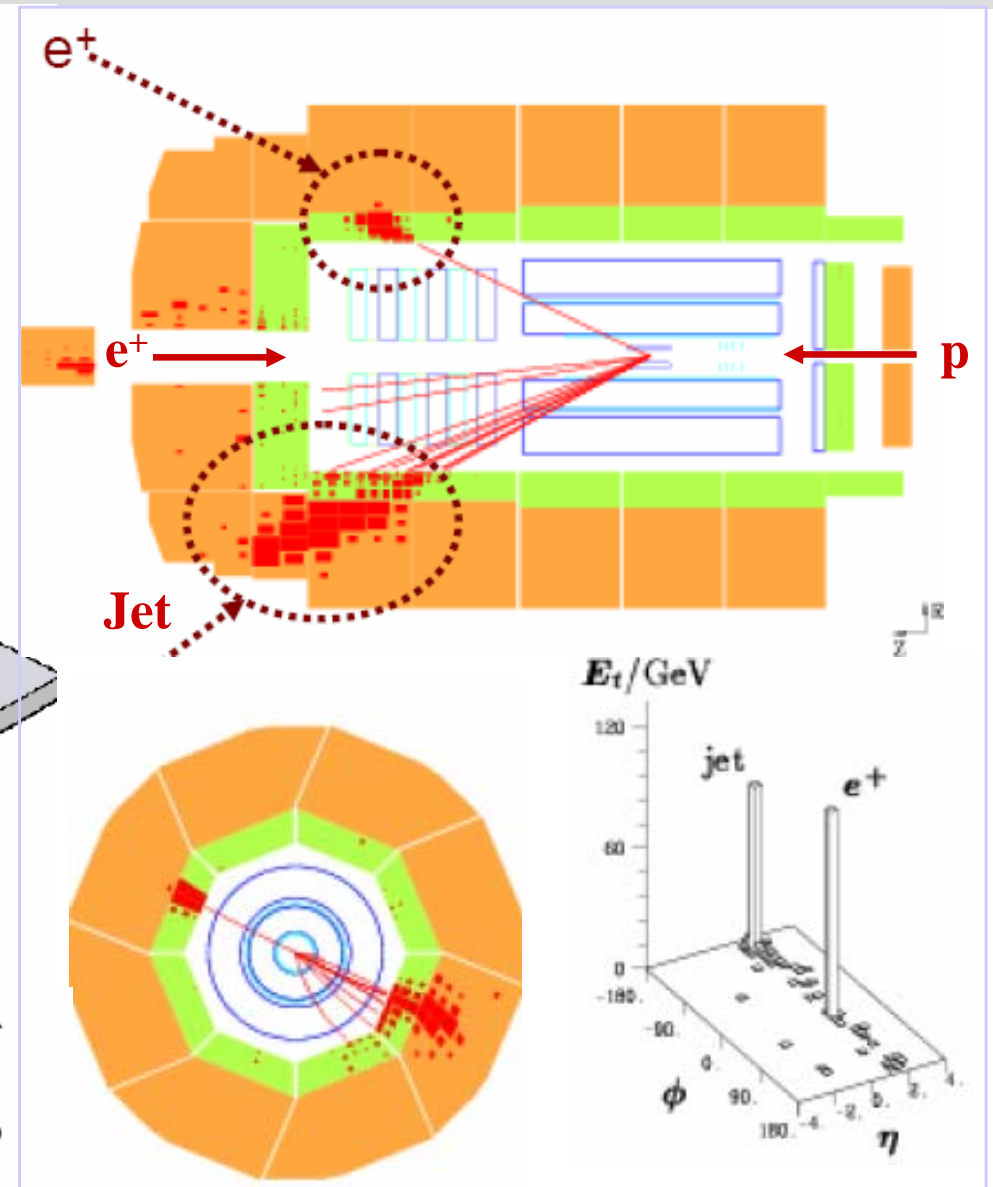
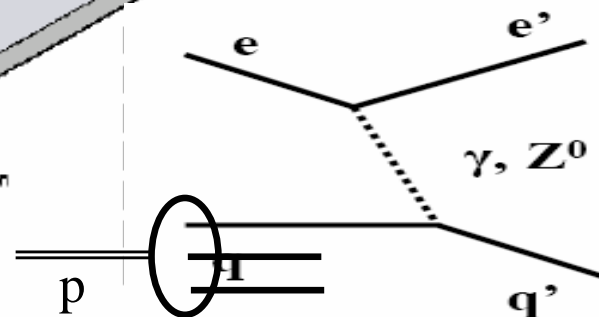


5.4 Jets

HERA Experiment H1



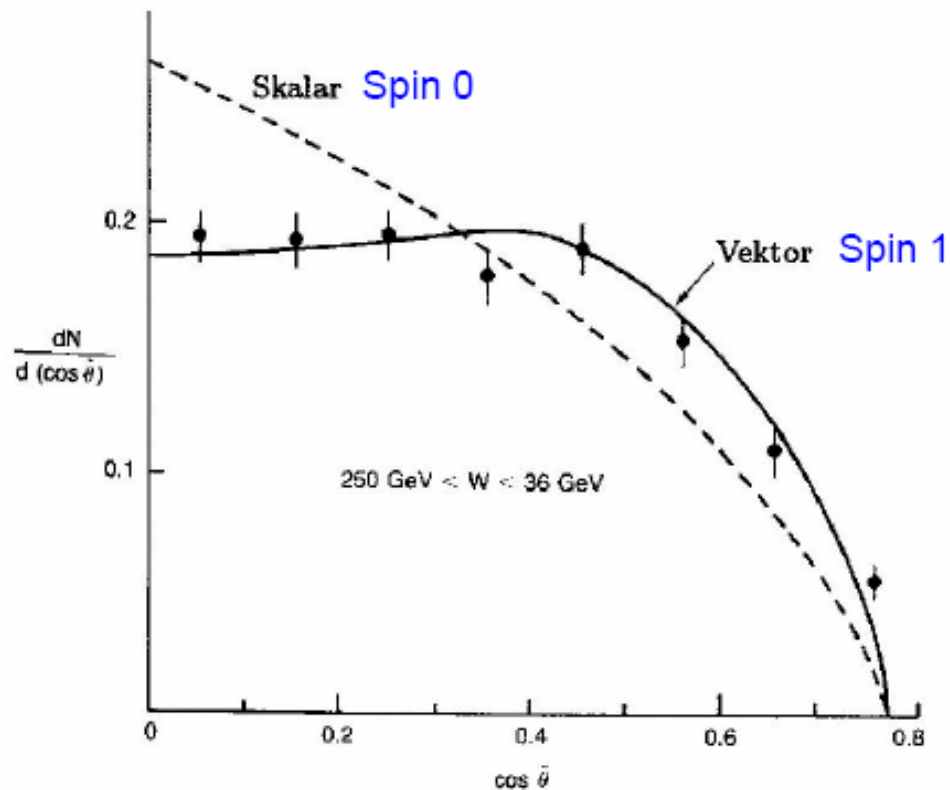
- 1 Beam pipe and beam magnets
 - 2 Central tracking chambers
 - 3 Forward tracking and Transition radiators
 - 4 Electromagnetic Calorimeter (lead)
 - 5 Hadronic Calorimeter (stainless steel)
 - 6 Superconducting coil (1.2T)
 - 7 Compensating magnet
 - 8 Helium cryogenics
- } Liquid Argon



5.4 Spin und Farbladung der Gluonen

Spin der Gluonen:

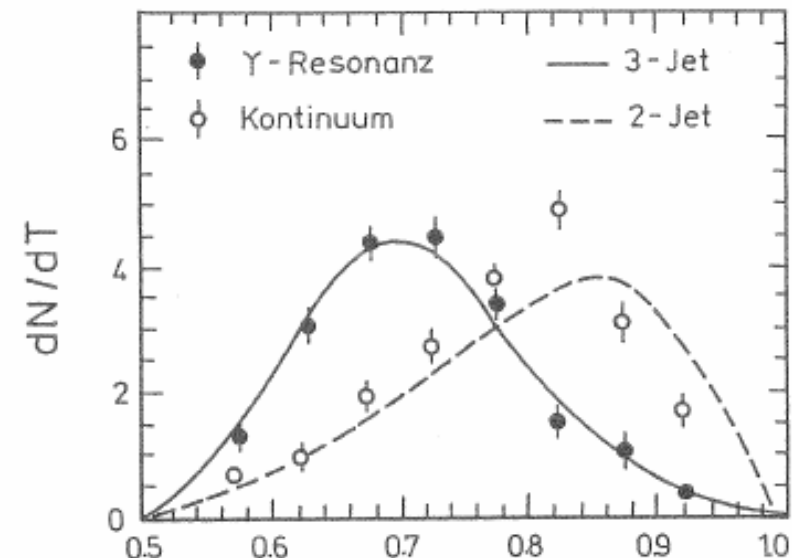
- abgestrahltes Gluon (statistisch) hat kleineren Impuls als die beiden Quarks
- Winkel des höchst-energetischen Jets zur Achse der beiden anderen Jets empfindlich auf Gluon-Spin (Berechnung im Rahmen der QCD) – bereits bei den PETRA-Experimenten gezeigt



→ Spin der Gluonen: 1

Farbladung der Gluonen:

- $\Upsilon(b\bar{b})$ -Resonanz hat $J^{PC}=1^{--} \rightarrow gg$ -Zerfall wegen C-Paritätserhaltung in der starken WW verboten, \rightarrow nur ggg -Zerfall erlaubt!
- für Farb-neutrale Gluonen wäre der Zerfall $\Upsilon \rightarrow g \rightarrow q\bar{q}$ erlaubt
- kann durch Ergebnisse PLUTO-Experiment (DESY 1979) ausgeschlossen werden



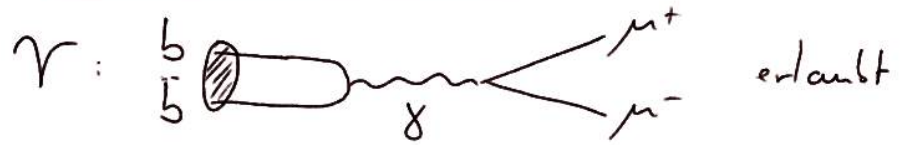
Trust: Maß für Isotropie der erzeugten Teilchen:

$T = 0.5$... isotrop

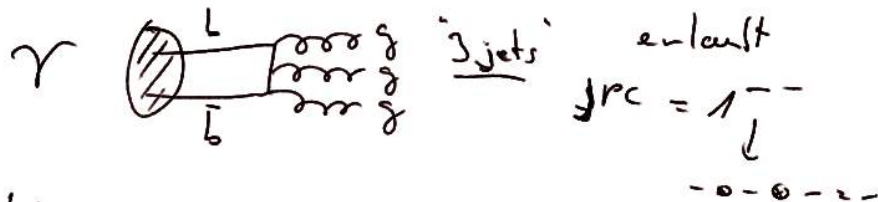
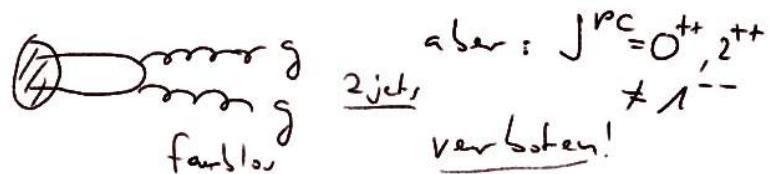
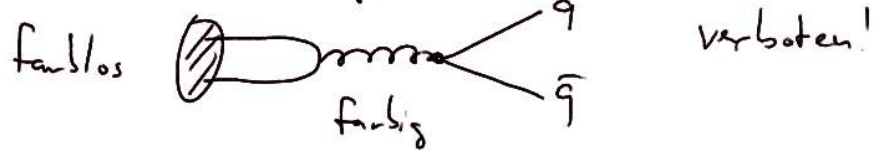
$T = 1.0$... 2 entgegengesetzt fliegende Teilchen

(Kontinuum: ~90% 2 Jets, 10% > 2 Jets)

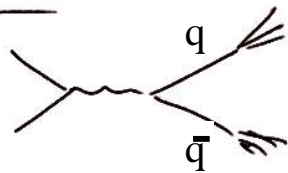
Farbladung der Gluonen



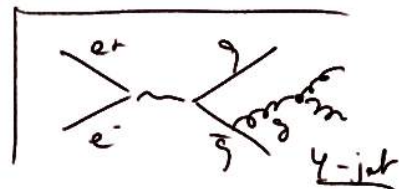
\Rightarrow gleiche Quantenzahlen wie γ : $J^{PC} = 1^{--}$



Kontinuum:



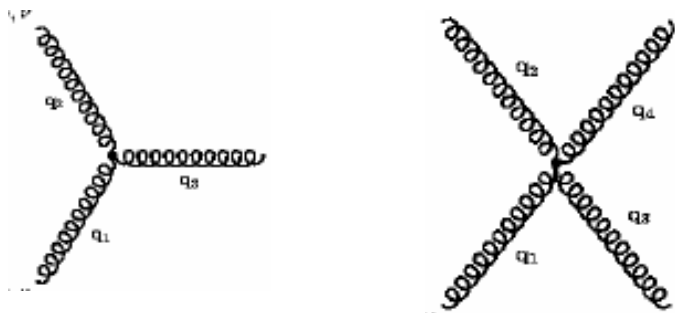
2jet



5.4 Farbladung der Gluonen + Zusammenfassung

Farbladung der Gluonen (cont.):

Außerdem wurde in zahlreichen Studien zu den Winkelverteilungen in 3-, 4-, und 5-Jet-Ereignissen bei z.B. e^+e^- (LEP) und ep (HERA) die Stärke der 3- und 4-Gluonenkopplung wie vorhergesagt gemessen.



Zusammenfassung:

- **QCD**: Eichinvariante Quantenfeldtheorie nach dem Muster der QED (Drehung im 1-dim Ladungsraum \rightarrow Drehung im 3-dim Farbraum = nicht Abelsche Eichtheorie – $SU(3)$)
- Schleifendiagramme: Gluonenbeiträge $>$ Quarkbeiträge \rightarrow Kopplungskonstante nimmt bei kleinen Abständen (Impulsüberträge groß) ab
 - \rightarrow asymptotische Freiheit (\rightarrow perturbative QCD)
 - \rightarrow Confinement (\rightarrow nicht-perturbative QCD)

(komplexe Struktur des Vakuums dank Quantenfluktuationen)

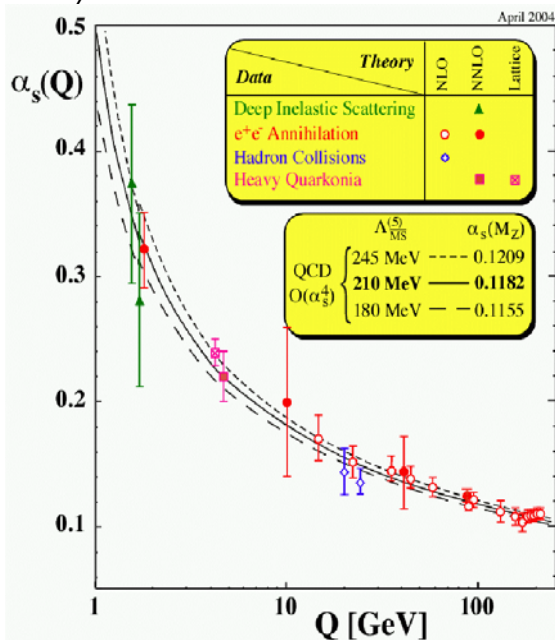
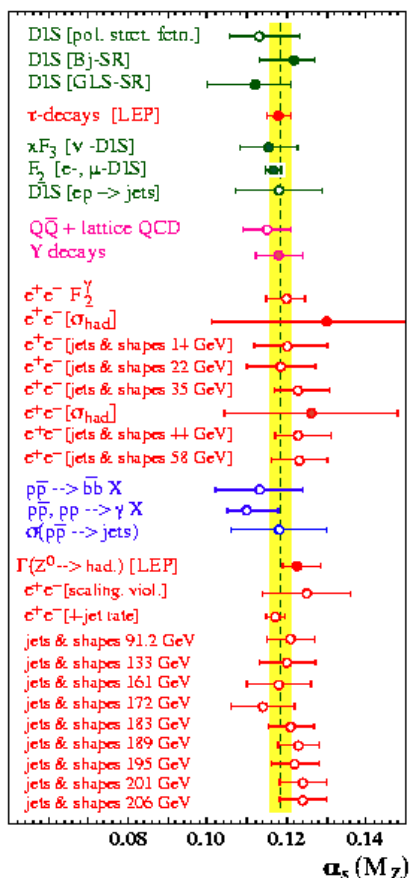
- Experimente bestätigen QCD (davon mehr)

5.5 perturbative QCD: SKALENABHÄNGIGKEIT VON α_s

Theorie (erste Ordnung, $M_Z = 91.2$ GeV):

$$\alpha_s(Q^2) = \frac{\alpha_s(M_Z^2)}{1 + \frac{(33 - 2n_f)}{12\pi} \alpha_s(M_Z^2) \ln \frac{Q^2}{M_Z^2}}$$

Entweder wird Kopplung bei Skala $Q^2 \neq M_Z^2$ gemessen und dann (zwecks Vergleichbarkeit) mithilfe obiger Gleichung zur Skala M_Z^2 "evolviert".



Oder Messungen werden bei "ihrer" Skala dargestellt und mit theoretischer Vorhersage für $\alpha_s(Q^2)$ für gegebenes $\alpha_s(M_Z^2)$ (z.B. Weltmittelwert) verglichen.

Aktuelles Weltmittel

$\alpha_s(M_Z) = 0.1176(20)$ [PDG 2008]
 $\alpha_s(M_Z) = 0.1184(7)$ [Bethke 2009]

HERA (NLO)

$\alpha_s(M_Z) = 0.1198 \pm 0.0019(\text{exp}) \pm 0.0026(\text{th})$

Der Weltmittelwert hat einen deutlich kleineren (theoretischen) Fehler als der HERA-Wert – hier fließen theoretisch besser verstandene Resultate ein (HERA: nur nächstführende Ordnung QCD – "next-to-leading order", NLO).

HERA liefert aber die Werte mit dem kleinsten experimentellen Fehler (Theorie kann später nachgebessert werden).

Im Folgenden Diskussion verschiedener exp. Bestimmungen der starken Kopplung α_s :

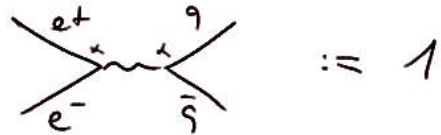
- 3/4-Jet-Raten in e^+e^- -Kollisionen (LEP)
- Skalenverletzungen in DIS (HERA)
- Jet-Physik in ep-Streuung (Tevatron ähnlich) (nicht erwähnt: τ -Zerfall, Z-Zerfall, interne Struktur von Jets, Gittereichtheorie, Υ -Zerfall, ...)

α_s AUS JETS IN e^+e^-

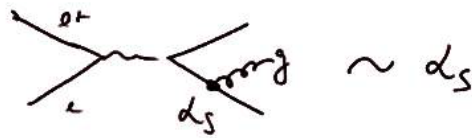
$e^+e^- \rightarrow jets$

002

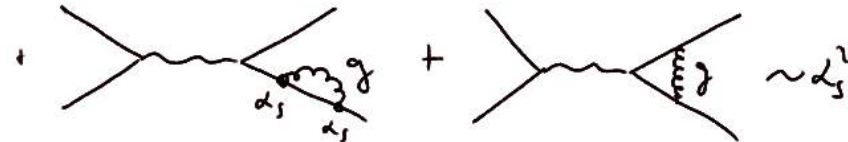
(A) 0. Ordnung



(B) 1. Ordnung



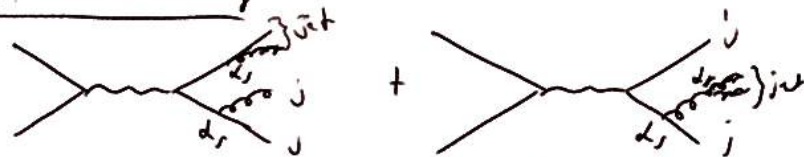
(C)



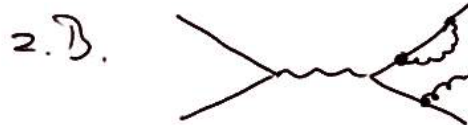
aber: Interferenzen: $\sim \sqrt{1 \cdot d_s^2} \approx d_s$

(D)

2. Ordnung



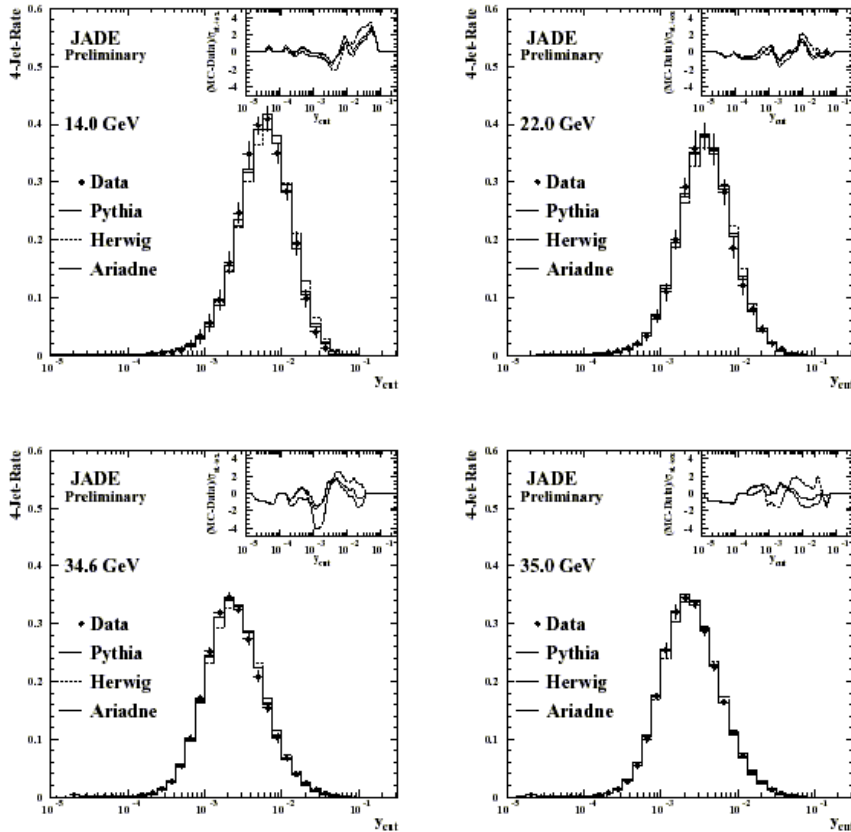
+ Interferenzen mit (B) $\sim d_s^2$



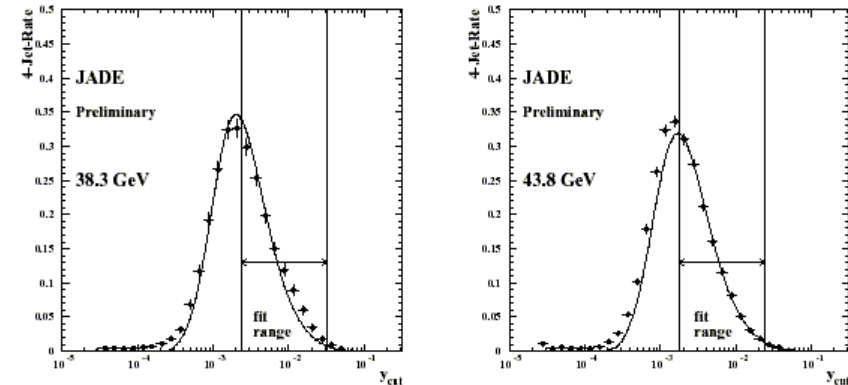
5.5 α_s AUS JETS IN e^+e^- (PETRA, LEP)

Ergebnisse JADE (PETRA):

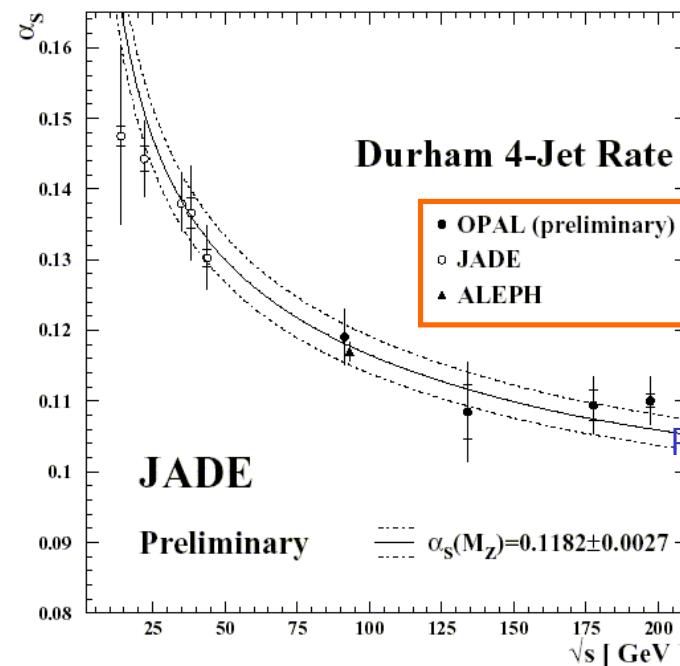
R_4 als Funktion von y_{cut} für verschiedene \sqrt{s} .



Theorie (Kurven) hängen von α_s ab \rightarrow Anpassung (Fit) der Theorie an Daten in bestimmten Messbereichen durch Variation von α_s (\rightarrow).



Ergebnis:
Kopplung als Funktion der Schwerpunktsenergie!



Kombination von PETRA und LEP!!!
Alte JADE-Daten neu belebt!!!!

5.5a Übersicht: Eigenschaften der Quarks

Quarks: Spin: $\frac{1}{2}$, A (Baryonenzahl): $+\frac{1}{3}$, Parität: $P = +1$

Antiquarks: Spin: $\frac{1}{2}$, A (Baryonenzahl): $-\frac{1}{3}$, Parität: $P = -1$

	"leicht"			"schwer" ($m > \Lambda_{\text{QCD}}$)		
Quark ^{*)}	d	u	s	c	b	t
Ladung/e	-1/3	+2/3	-1/3	+2/3	-1/3	+2/3
I_3	-1/2	+1/2	0	0	0	0
Strange	0	0	-1	0	0	0
Charm	0	0	0	+1	0	0
Bottom	0	0	0	0	-1	0
Top	0	0	0	0	0	+1
„nackte“ Masse ^{**)}	~.008 GeV	~.004 GeV	~0.11 GeV	~1.3 GeV	~4.2 GeV	~161 GeV
Masse im Hadron ^{**)}	~.344 GeV	~0.340 GeV	~0.51 GeV	~1.6 GeV	~4.7 GeV	~172 GeV ^{***)}

^{*)} additive Quantenzahlen ändern das Vorzeichen Quarks \rightarrow Antiquarks

^{**)} modellabhängig

^{***)} Lebensdauer so kurz (schwacher Zerfall!), dass es keine gebundenen Zustände gibt

5.6 TIEFUNELASTISCHE ep-STREUUNG

Normalerweise "historischer" Weg:

- Rutherford mit Spin-1/2-Geschossen (elastisch)
- Spin des Targets (→ Mott-WQS)
- Ausdehnung des Targets (→ Formfaktoren, Rosenbluth-Formel)
- Übertragung auf den inelastischen Fall

Jetzt anders:

- Das Proton hat (punktförmige) Konstituenten!
- inelastische ep-Streuung = elastische Streuung an einem der Konstituenten.
- grosser Energieübertrag des Elektrons $\nu \equiv E - E'$, entspricht kurzer Zeitdauer der Wechselwirkung → inkohärente Streuung an einzelnen "Partonen".
- Annahme: Partonen haben Spin-1/2 → Anwendung der Erfahrung aus $e\mu$ -Streuung:

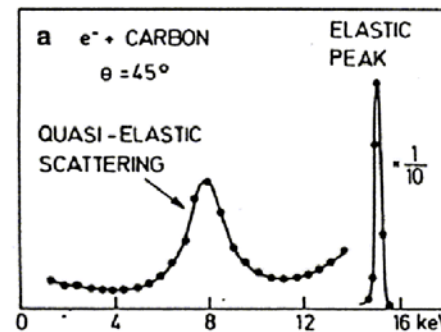
$$\frac{d\sigma}{dQ^2} = \frac{4\pi\alpha^2}{(Q^2)^2} \left(1 - \frac{Q^2}{\tilde{s}} + \frac{1}{2} \frac{Q^4}{\tilde{s}^2} \right)$$

$$\alpha = \frac{e^2}{4\pi}, \quad \tilde{s} = s - M_\mu^2$$

Von diesem Ausdruck ausgehend soll jetzt der WQS der ep-Streuung abgeleitet werden.

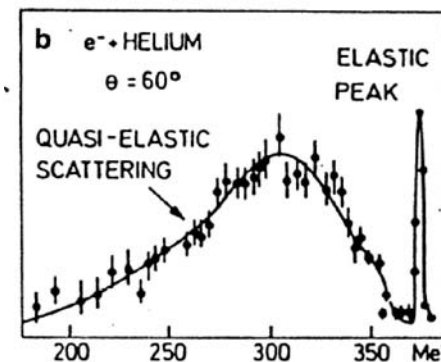
Plausibilität der Annahme von Konstituenten (Anleihe bei Atom/Kern-Physik):

Streuung von Elektronen an Atomen:



Elastische Streuung an einzelnen Hüllenelektronen

Streuung von Elektronen an Kernen:

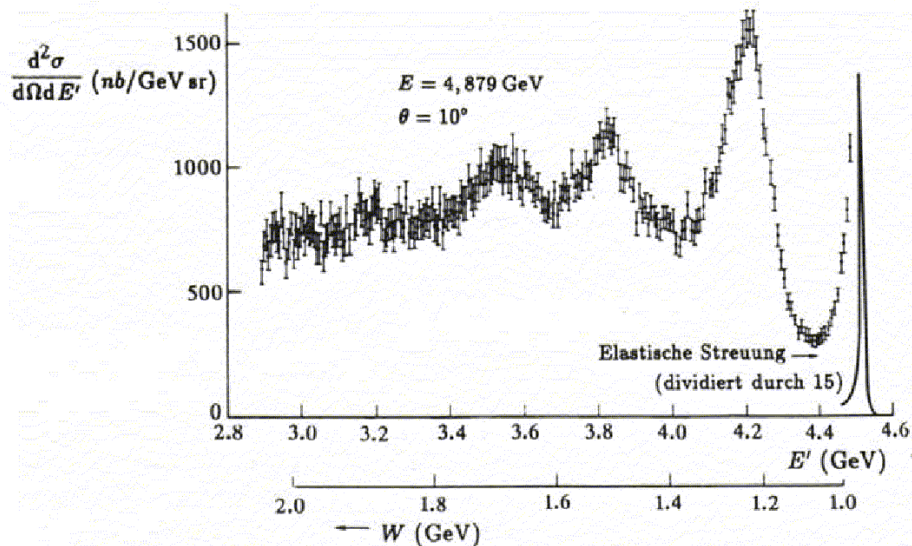


Elastische Streuung an einzelnen Kernbestandteilen (p,n)

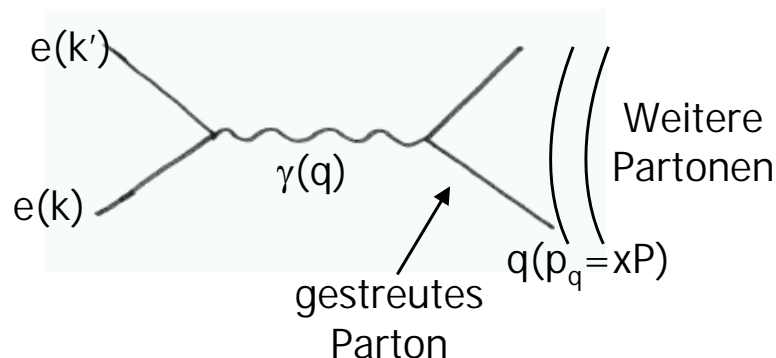
Inelastische Streuung an ausgedehntem Objekt = elastische Streuung an Bestandteil + Fermi-Verschmierung!

5.6 TIEFUNELASTISCHE ep-STREUUNG

Anwendung auf ep-Streuung (4.9-GeV-Elektronen auf Wasserstoff-Target):



→ Es gibt (punktförmige) Konstituenten im Proton!
 → Modifikation des eμ-Bildes (P=Impuls des Protons):



Historische (aus der Hadronspektroskopie motivierte) Annahme:

- Es gibt drei Konstituenten mit Spin-1/2 (Valenzquarks u, u, d).
- Ladungen: $Q_u=2/3$, $Q_d=-1/3$.
- Diese tragen Bruchteile x_i , $i=1,2,3$, $0 < x_i < 1$, des Protonimpulses.

Modifikation des eμ-WQS:

$$\left. \frac{d\sigma}{dQ^2} \right|_{eq} = \frac{4\pi\alpha^2}{(Q^2)^2} \left(1 - \frac{Q^2}{\tilde{s}_q} + \frac{1}{2} \frac{Q^4}{\tilde{s}_q^2} \right) Q_q^2$$

el. Quark-Ladung

Da die Streuung aufgrund kurzer Zeitdauer der WW inkohärent erfolgt:

$$\sigma_{ep} = \sum_i \sigma_{eq_i}$$

Problem: Was ist s_q ?

$$\tilde{s}_q = (k + p_q)^2 = (k + xP)^2 = k^2 + x^2 P^2 + 2xkP \approx 2xkP$$

$$s = (k + P)^2 = k^2 + P^2 + 2kP \approx 2kP$$

Also gilt: $\tilde{s}_q = x s$

Definiere W'keit, Quark i im Impulsintervall $x, x+dx$ zu finden, mit $f_i(x)dx$ ("Partonverteilung") → WQS

5.6 TIEFUNELASTISCHE ep-STREUUNG

$$\begin{aligned} \left. \frac{d^2\sigma}{dQ^2 dx} \right|_{ep} &= \sum_{i=1}^3 \left. \frac{d\sigma}{dQ^2} \right|_{eq_i} \cdot Q_{q_i}^2 \cdot f_i(x) = \\ &= \frac{4\pi\alpha^2}{(Q^2)^2} \left(1 - \frac{Q^2}{\tilde{s}_q} + \frac{1}{2} \frac{Q^4}{\tilde{s}_q^2} \right) \cdot \sum_{i=1}^3 Q_{q_i}^2 \cdot f_i(x) \end{aligned}$$

Definition der **Inelastizität** y :

$$y = \frac{Pq}{Pk} \approx \frac{Q^2}{\tilde{s}_q}$$

Es gilt:

$$\frac{dy}{dQ^2} = \frac{1}{\tilde{s}_q} \Rightarrow \frac{d\sigma}{dy} = \tilde{s}_q \cdot \frac{d\sigma}{dQ^2}$$

Damit folgt:

$$\begin{aligned} \left. \frac{d^2\sigma}{dy dx} \right|_{ep} &= \frac{4\pi\alpha^2}{(Q^2)^2} \left(1 - y + \frac{1}{2} y^2 \right) \tilde{s}_q \cdot \sum_{i=1}^3 Q_{q_i}^2 \cdot f_i(x) \\ &= \frac{4\pi\alpha^2}{(Q^2)^2} \left(1 - y + \frac{1}{2} y^2 \right) xs \cdot \sum_{i=1}^3 Q_{q_i}^2 \cdot f_i(x) \end{aligned}$$

Definiere^(*): Strukturfunktionen $F_{1,2}$:

$$\begin{aligned} F_2(x) &\equiv x \cdot \sum_i Q_i^2 \cdot f_i(x) \\ F_2(x) &= 2xF_1(x) \end{aligned}$$

Dann:

$$\left. \frac{d^2\sigma}{dy dx} \right|_{ep} = \frac{4\pi\alpha^2}{(Q^2)^2} s \left((1-y)F_2(x) + xy^2 F_1(x) \right)$$

Anmerkungen:

(*) Wenn man den Wirkungsquerschnitt der elastischen ep-Streuung mit den Formfaktoren $W_{1,2}$ betrachtet, dann kann man Formgleichheit zwischen elastischer und inelastischer Streuung mit diesen Definitionen erreichen. Dabei entsprechen $W_{1,2}$ den Termen der elektrischen und magnetischen WW. Das sieht man schon im Elektron-Myon-WQS:

$$\sigma \propto \left(1 + \frac{Q^2}{2M^2} \tan^2 \frac{\theta}{2} \right)$$

– Die Bedingung $F_2(x) = 2xF_1(x)$ heisst Callan-Gross-Beziehung.

Sie gilt nur für Spin-1/2-Partonen. Im Falle von Spin-0-Teilchen wäre $F_1=0$ (keine Spin-Spin-WW).

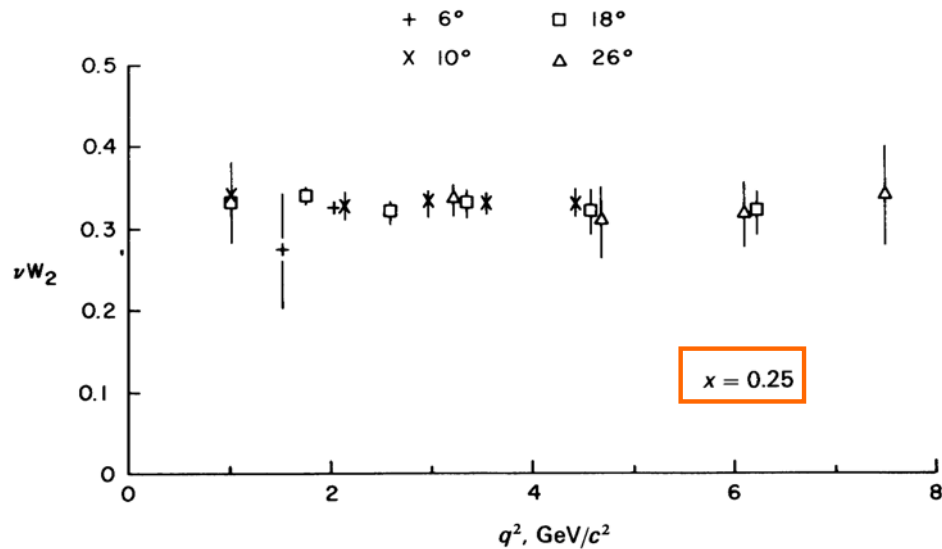
– Es gilt: $F_2(x) \propto \sum_i Q_i^2$

F_2 beschreibt also "nur" die elektrische Struktur des Protons. In voller Rechnung mit schwacher WW und Interferenzen treten weitere Strukturfunktionen auf (F_3), die auch schwache Anteile beschreiben.

– Prozess vollständig beschrieben durch x, y, Q^2 (s,t,u). F_2 hängt aber nur von x ab ("Scaling" – Skalenverhalten – auf jeder Größenskala sieht Struktur gleich aus – Struktur hängt nur von dimensionsloser Variable x ab). F_2 unabhängig von Auflösungsvermögen der Photsonde Q^2 . Grund: "Es gibt nur drei Quarks im Proton".

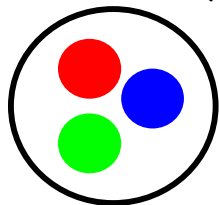
5.6 SCALING VON $F_2 = F_2(x)$

Anmerkung: $\nu W_2 \sim F_2$.

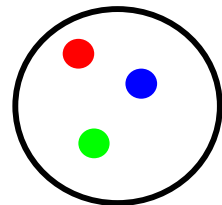


Für diese frühen Messungen der Strukturfunktion in fixed-target-Experimenten zeigte sich also wirklich das Skalenverhalten im Bereich $x=0.25$!

Erklärung: Unabhängig von Auflösung (Wellenlänge des Photons $\lambda \sim 1/Q$)



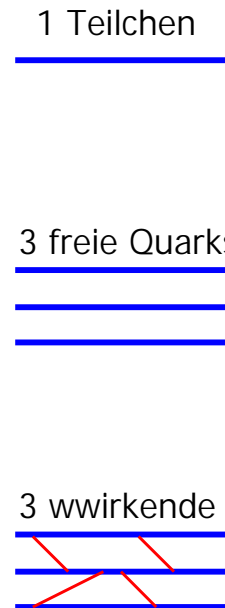
Hohe Auflösung



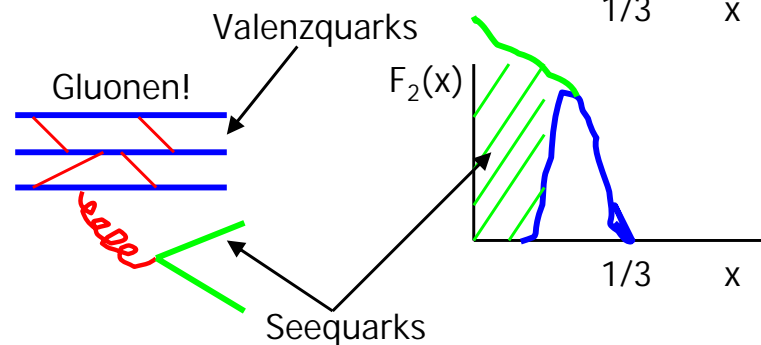
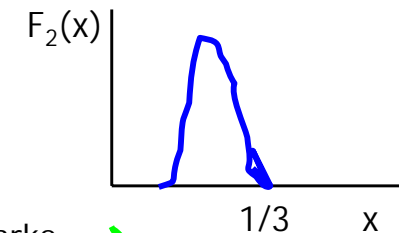
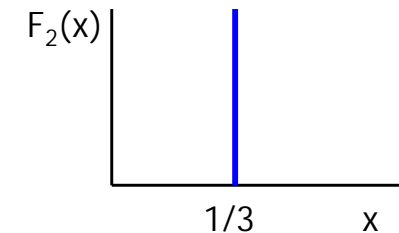
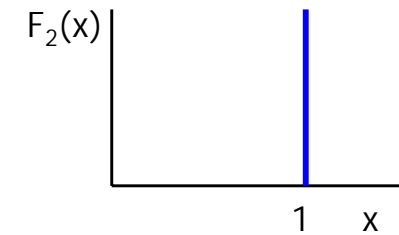
Niedrige Auflösung

Beide Male genau 3 Quarks! (in diesem Q^2/x -Bereich)

Proton =

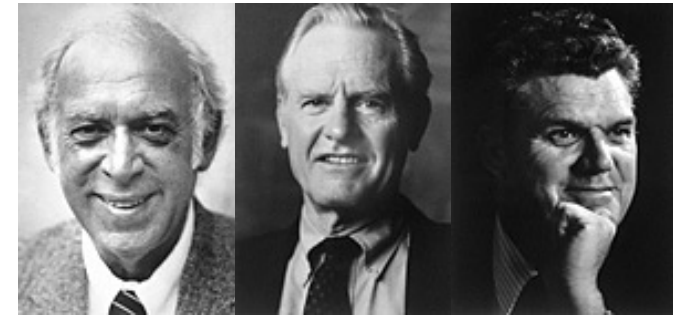
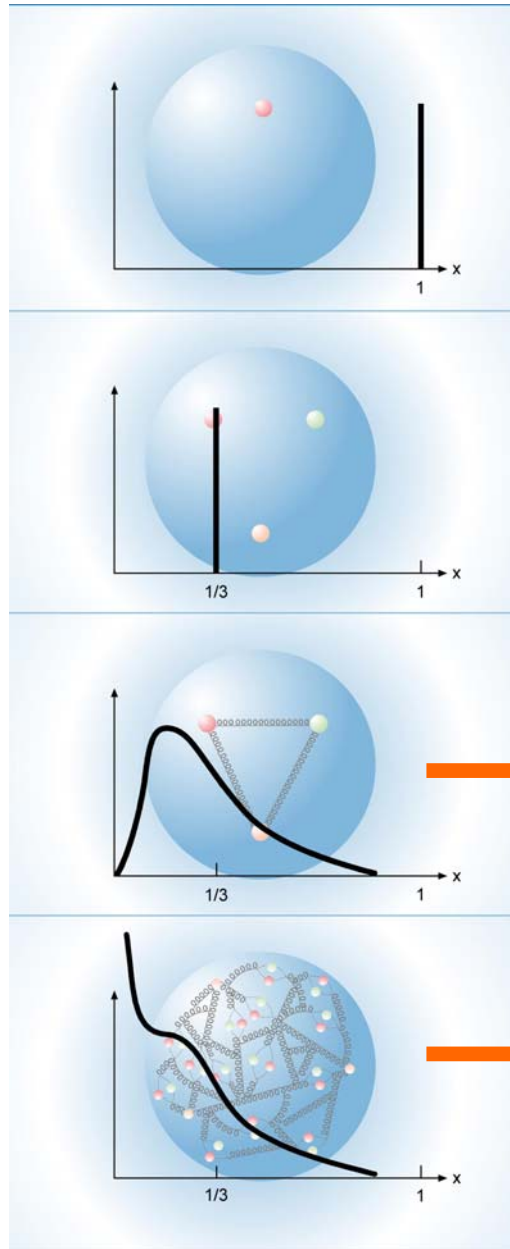


$F_2(x) =$



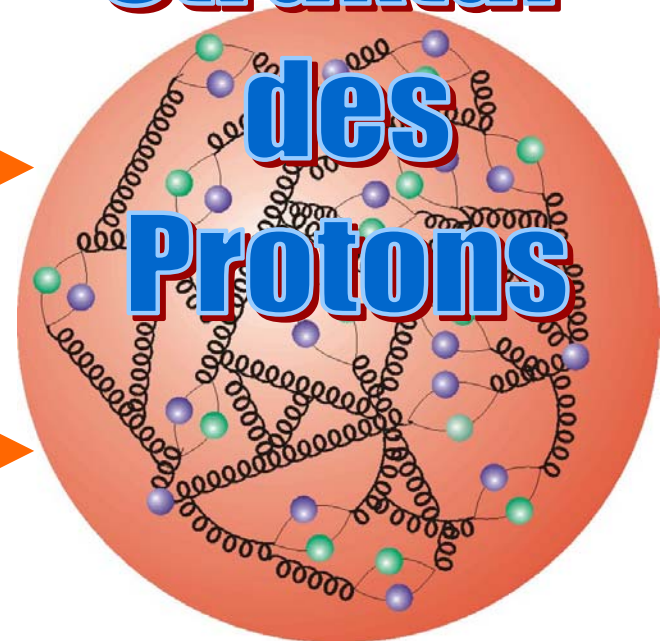
5.6 SCALING VON $F_2 = F_2(x)$

- $E \sim \text{MeV}$
sehe Proton als Ganzes
- statisches Quarkmodell,
Valenzquarks
($m \sim 350 \text{ MeV}$)
- $E \sim m_p \sim 1 \text{ GeV}$
sehe Valenzquarks
und ihre Bewegung
("scaling")
- $E \gg 1 \text{ GeV}$
Quark- und Gluon-"See"
wird sichtbar
-> Skalenverletzung!



Jerome I. Friedman Henry W. Kendall Richard E. Taylor
(Nobel 1990)

**Struktur
des
Protons**



Wie bestimmt man die Protonstruktur?

Mikroskop:

niedrige Auflösung

-> kleines Instrument

hohe Auflösung

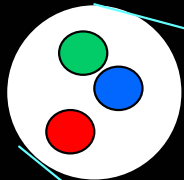
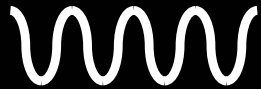
-> großes Instrument

**HERA =
gigantisches
Elektronen-
Mikroskop**

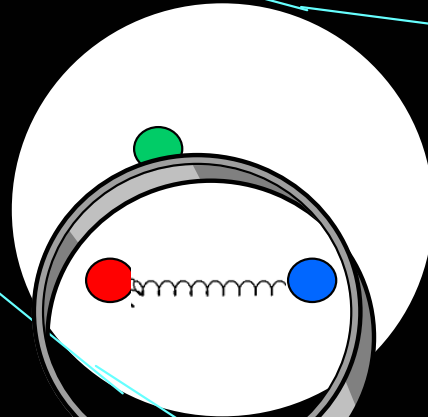


Im Proton

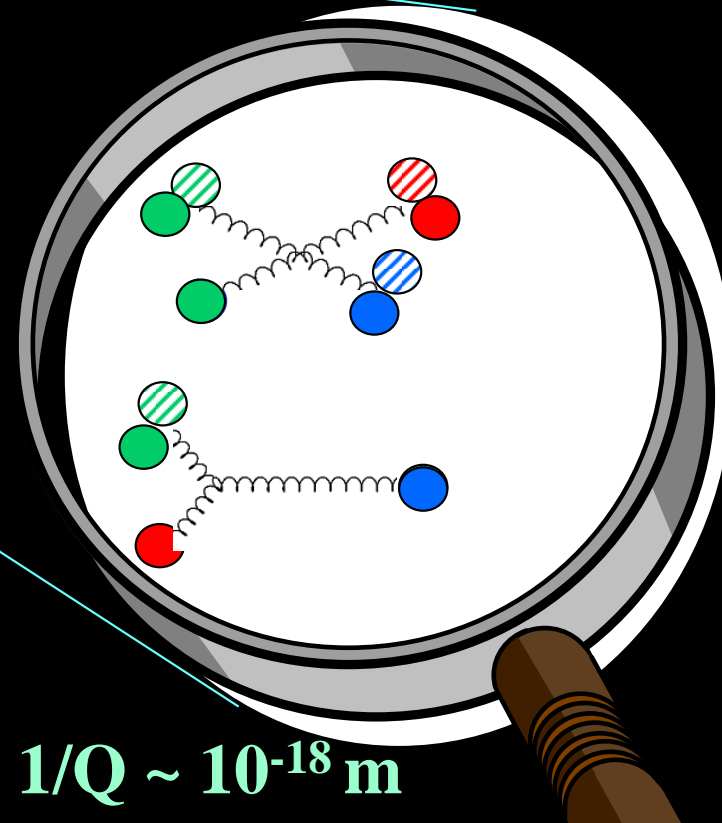
kleines Q^2 (λ gross)



mittleres Q^2 (mittleres λ)



grosses Q^2 (λ klein)



Heisenberg'sche Unschärferelation erlaubt Erzeugung von Gluonen und $q\bar{q}$ -Paaren für kurze Zeit.

Bei immer größerer Auflösung emittieren die quarks Gluonen, die wieder Gluonen emittieren, die Quarks emittieren, die

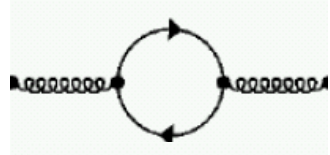
bei höchstem Q^2 , $\lambda \sim 1/Q \sim 10^{-18}$ m

5.6 SKALENVERLETZUNG UND QCD

Die Existenz von Gluonen im Proton liefert Abhängigkeit von F_2 von Q^2 : $F_2 = F_2(x, Q^2)$!

Laut Heisenberg sind virtuelle Prozesse (mit Gluonen) auf kleinen zeitlichen/räumlichen Skalen erlaubt:

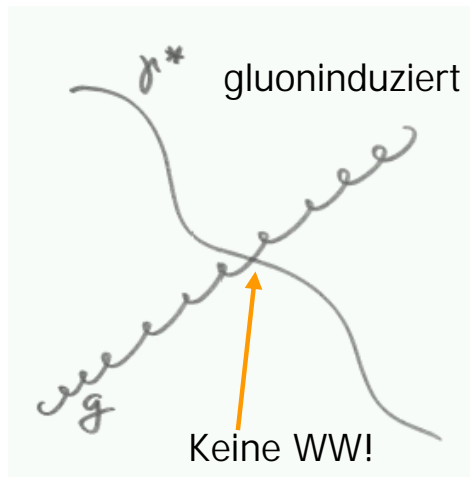
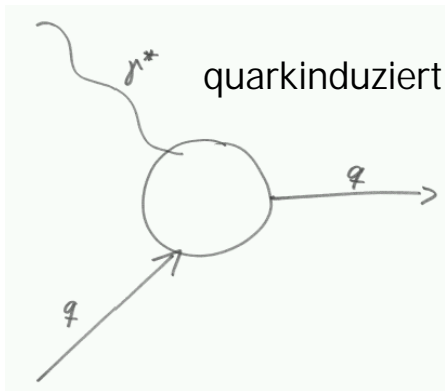
- $g \rightarrow qq \rightarrow g$



- $g \rightarrow gg \rightarrow g$

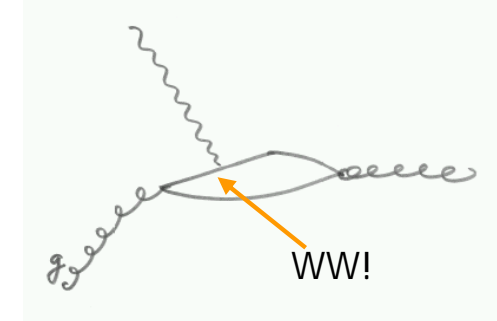
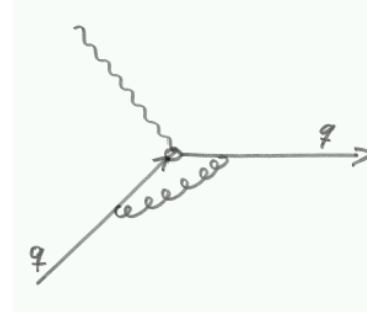


Falls kleines Q^2 , schlechte Auflösung, nur grosse Strukturen sichtbar:

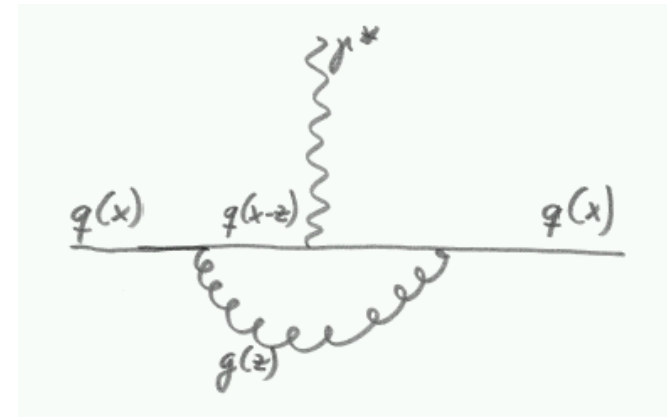


→ das Photon "sieht" nur das ursprüngliche Quark!
 → Struktur von Valenzquarks bestimmt!

Falls hohes Q^2 , gute Auflösung, auch kleine Raum/Zeit-Strukturen auflösbar:



- 1. Das Photon koppelt auch an das Gluon!
- 2. Die Kopplung an das Quark erfolgt bei einem anderen x -Wert $z < x$:

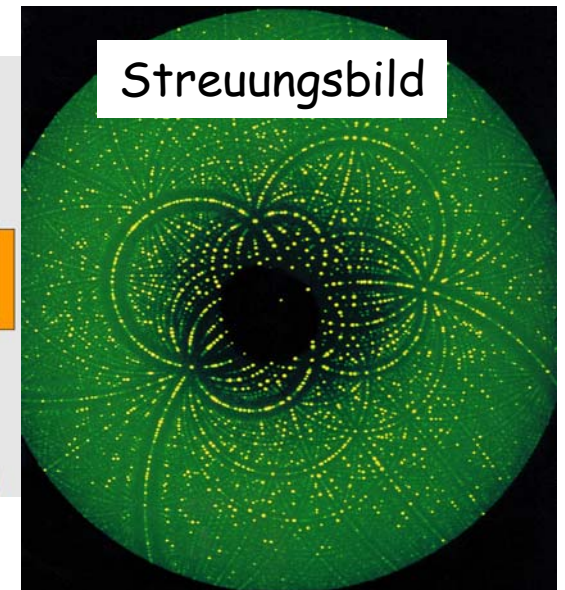
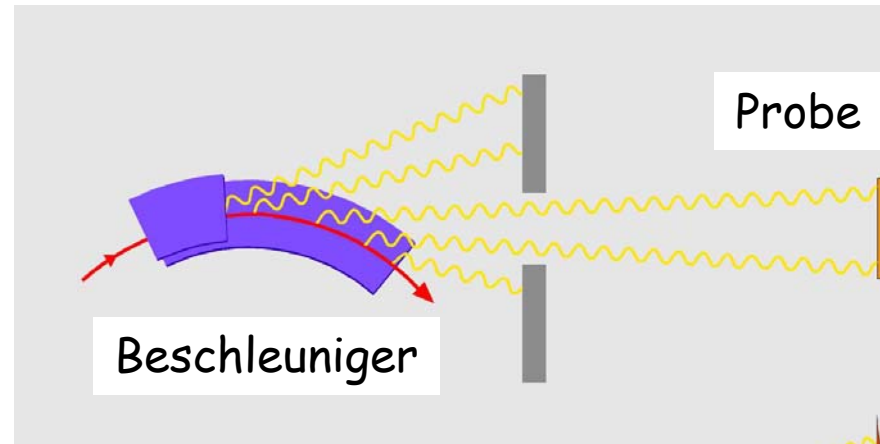


Salopp: $F_2(x)$ sinkt falls Q^2 steigt!
 $F_2(z < x)$ steigt, falls Q^2 steigt!

→ $F_2 = F_2(x, Q^2)$!!! Skalenverletzungen!

Wie vermisst man die Struktur eines Objekts?

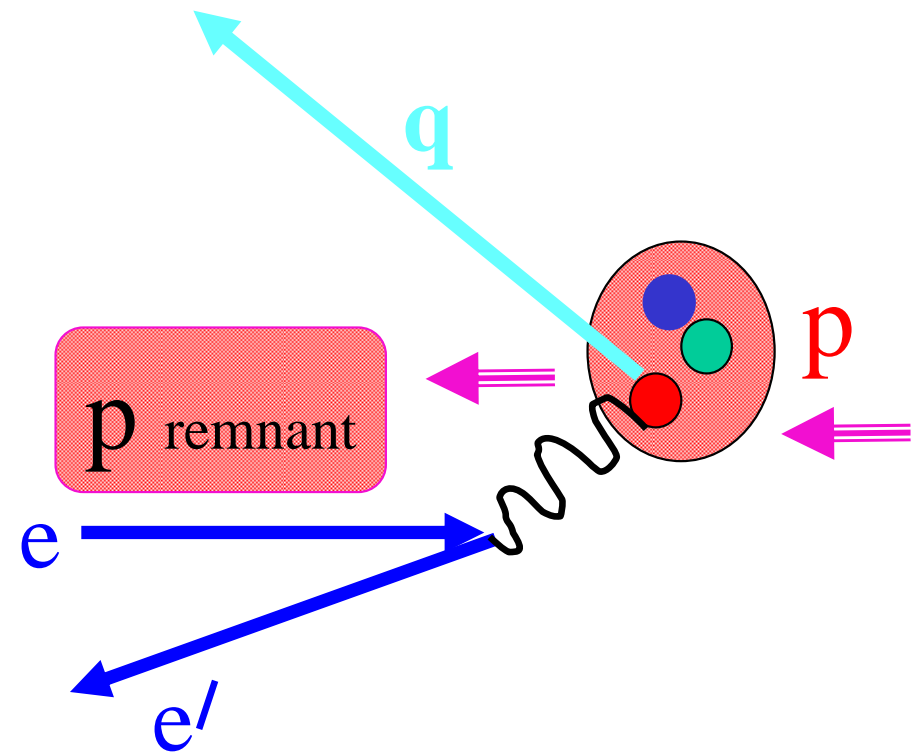
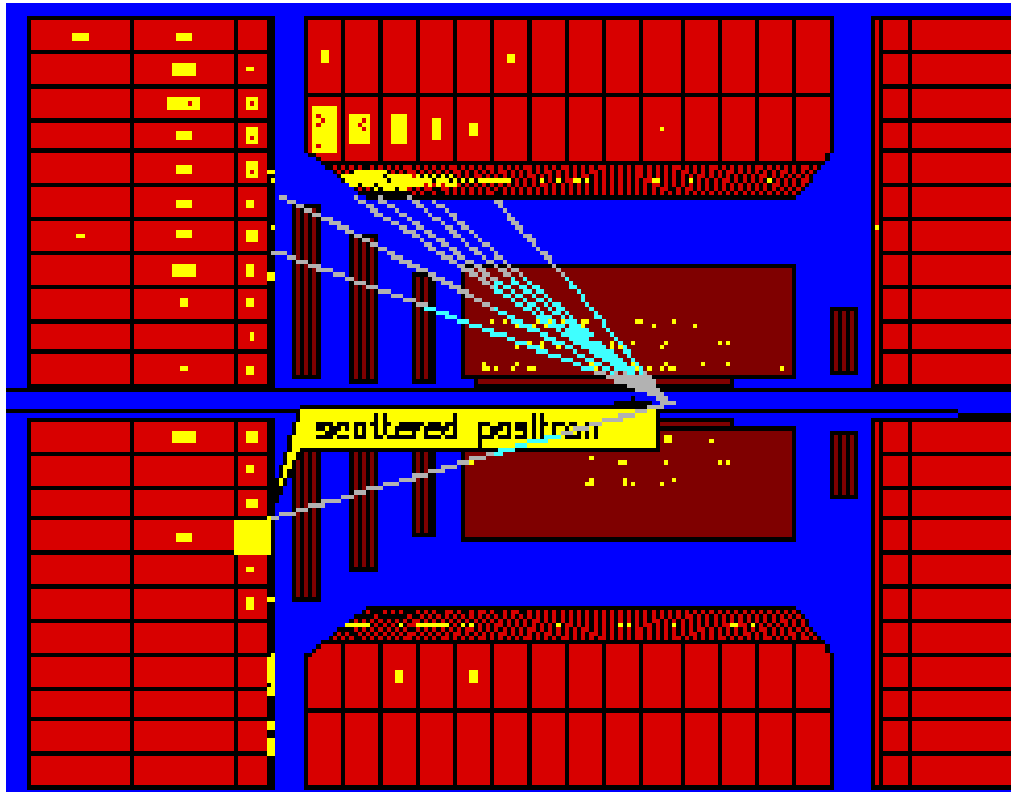
z.B. Röntgen-
Strahlung
(Hasylab)
 $E \sim \text{keV}$



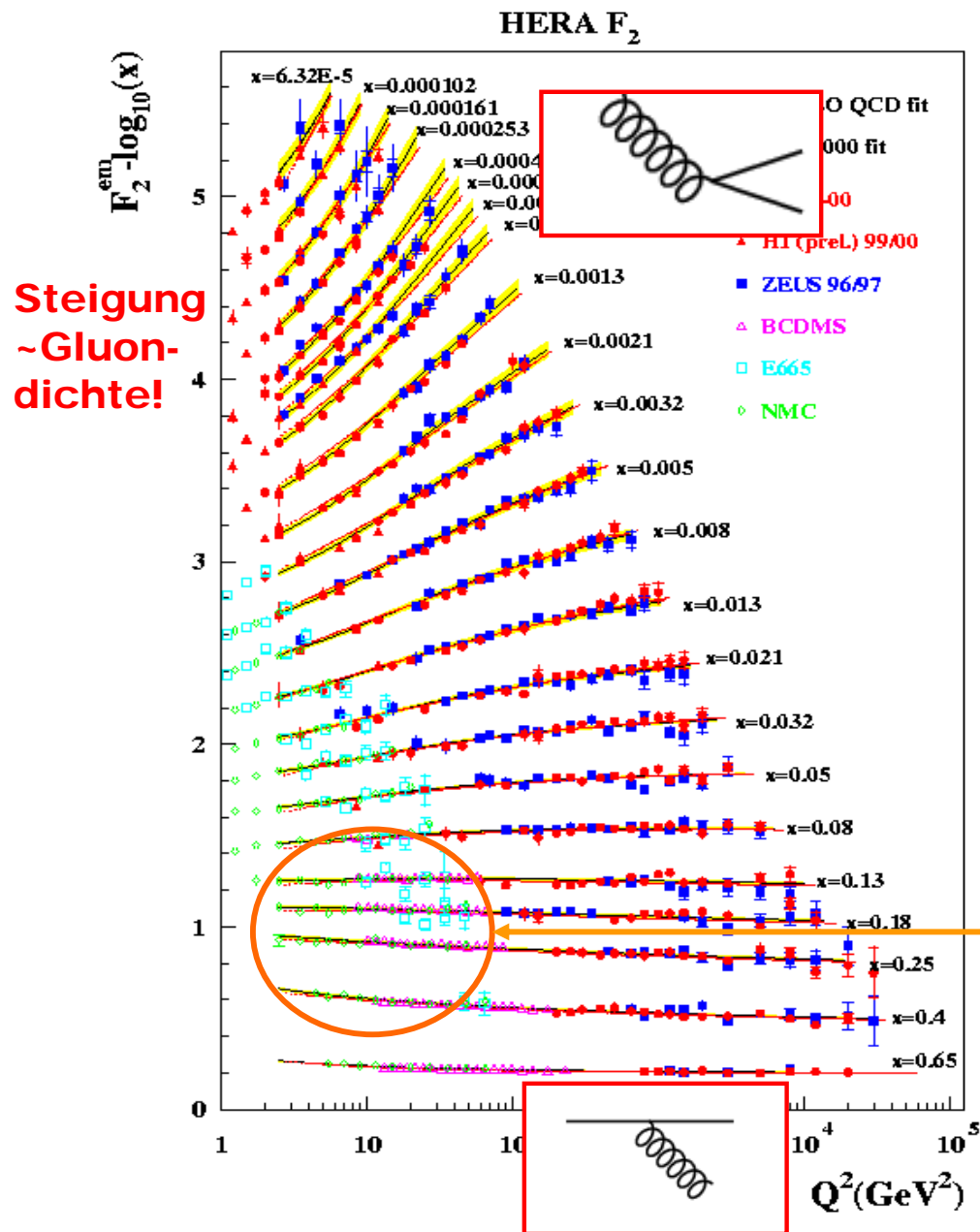
-> Struktur eines
Biomoleküls



Tief unelastische ep-Streuung bei HERA

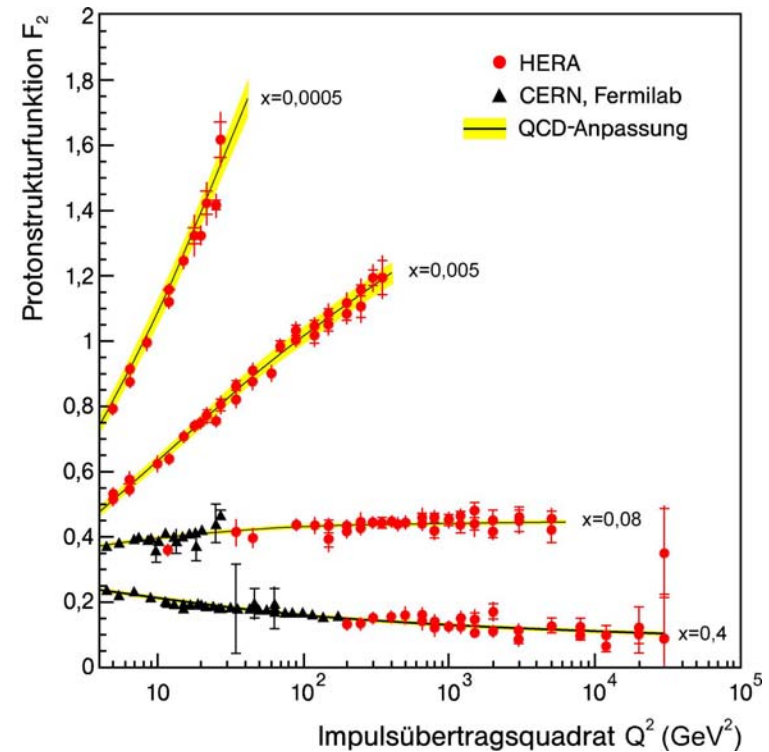
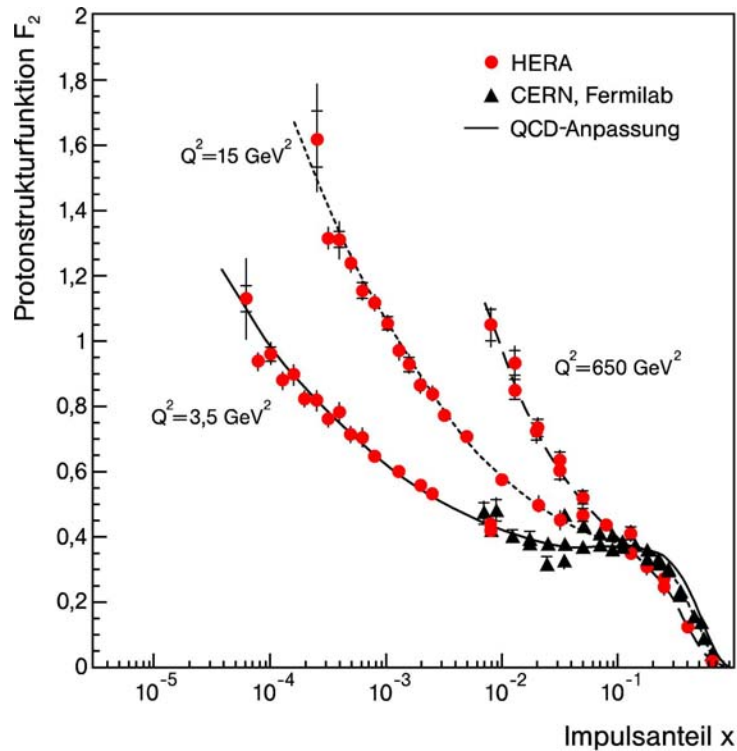


5.6 F₂ HEUTE (HERA)



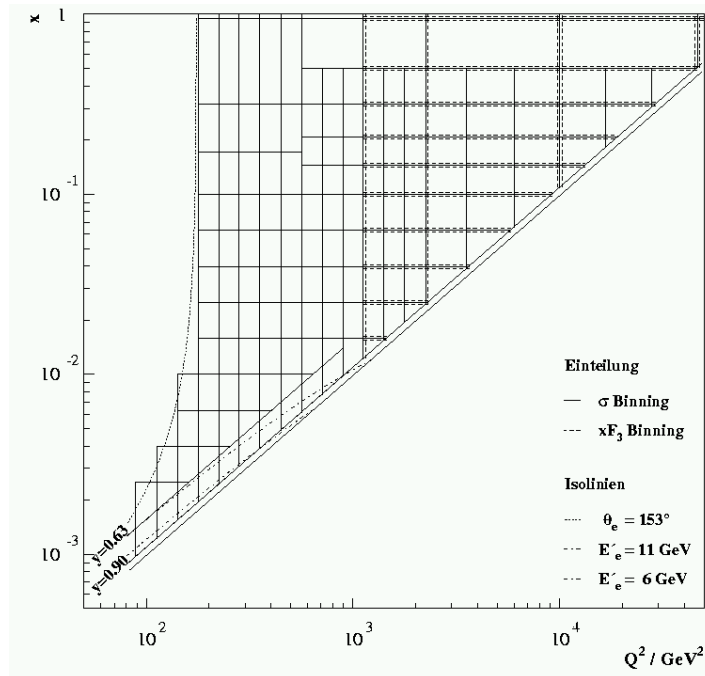
- Mehrere hundert Datenpunkte mit Genauigkeit 2%. Wunderbar von Theorie beschrieben!
- Klare Beobachtung von Skalenverletzungen bei grossen und kleinen x
 - grosse x : Valenzquarks $q(x)$ strahlen Gluonen ab, die wiederum in qq -Paare ($q'(z < x)$) zerfallen. Von diesen Paaren sieht man mit steigendem Q^2 mehr \rightarrow falls Q^2 steigt, sinkt der Anteil der Quarks mit grossem x !
 - kleine x : Abgestrahlte Gluonen strahlen weitere Gluonen ab, und alle Gluonen zerfallen in Quark-Paare mit sehr kleinen x , von denen man mit steigendem Q^2 mehr und mehr sieht $\rightarrow F_2$ bei kleinen x steigt mit Q^2 an.
- Die frühen fixed-target-Experimente haben zufällig bei den x -Werten gemessen, bei denen F_2 flach in Q^2 ist.

5.6 SKALENVERLETZUNG UND QCD



5.6 F_2 : VORGEHEN; SKALENVERLETZUNGEN

– Unterteile x - Q^2 -Ebene in "vernünftige" Bins:



Kinematik der ep-Streuung

$$y = \frac{Pq}{Pk}$$

$$Q^2 = -(k' - k)^2$$

$$x = \frac{Q^2}{2Pq}$$

$$\frac{d^2\sigma}{dQ^2 dx} = \frac{2\pi\alpha^2}{x(Q^2)^2} F_2(x, Q^2)$$

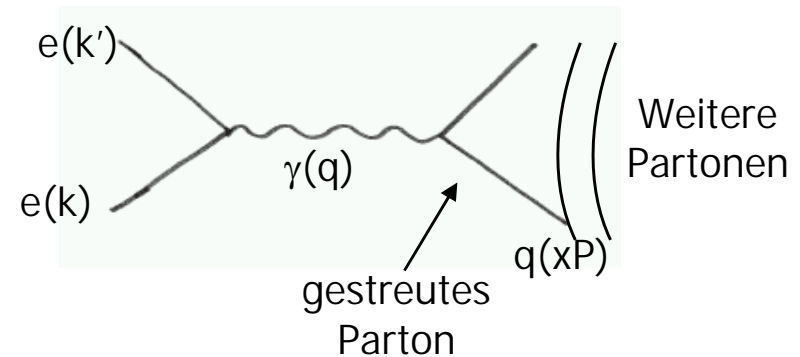
– Merke, dass bei kleinen y :

$$\frac{d^2\sigma}{dQ^2 dx} = \frac{2\pi\alpha^2}{x(Q^2)^2} F_2(x, Q^2)$$

– Also:

$$F_2(x, Q^2) \approx \left(\frac{2\pi\alpha^2}{x(Q^2)^2} \right)^{-1} \frac{d^2\sigma}{dQ^2 dx}$$

x, Q^2 gemessen! Zählen!



5.6 F₂: SKALENVERLETZUNGEN

Verhalten von F₂ mit Q² (halb)quantitativ:

- Betrachte Änderung der Dichte von Quarks q(x, Q²) mit Impulsbruchteil x bei kleiner Änderung von Q² → Q² + dQ². (z > x). Man sieht etwas mehr von Prozessen wie

$$u(z) \rightarrow u(x) + g(z-x)$$

$$g(z) \rightarrow u(x) + \bar{u}(z-x)$$

- z kann Werte zwischen x und 1 haben:

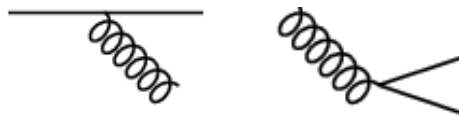
$$\int_x^1 \frac{dz}{z}$$

- Damit kann man zeigen, dass:

$$\partial u(x, Q^2) = \frac{\alpha_s(Q^2)}{2\pi} \int_x^1 \frac{dz}{z} \left[P_{qq}\left(\frac{x}{z}\right) u(z, Q^2) + P_{qg}\left(\frac{x}{z}\right) g(z, Q^2) \right] \partial \ln Q^2$$

Kopplung

Splitting-Funktionen (pQCD): W'keit, dass Parton mit z anderes Parton mit x abstrahlt.



Änderung von u bei x proportional zur Dichte der Quarks/Gluonen, die abstrahlen können.

- Unter der Annahme von nur u,d-Quarks (ist einfacher) und mit

$$F_2(x, Q^2) \equiv x \cdot \sum_i Q_i^2 \cdot f_i(x, Q^2)$$

$$= x \cdot \left(\frac{4}{9} u(x, Q^2) + \frac{4}{9} \bar{u}(x, Q^2) + \frac{1}{9} d(x, Q^2) + \frac{1}{9} \bar{d}(x, Q^2) \right)$$

folgt für F₂:

$$\frac{\partial F_2(x, Q^2)}{\partial \ln Q^2} = \frac{\alpha_s(Q^2)}{2\pi} \cdot \int_x^1 \frac{dz}{z} \frac{x}{z} \left[P_{qq}\left(\frac{x}{z}\right) F_2(z, Q^2) + 2z P_{qg}\left(\frac{x}{z}\right) g(z, Q^2) \sum_i Q_i^2 \right]$$

Man kann zwei Grenzfälle isolieren:

- große x: Gluondichte g(z) für z > x verschwindet →

$$\frac{\partial F_2(x, Q^2)}{\partial \ln Q^2} \approx \frac{\alpha_s(Q^2)}{2\pi} \int_x^1 \frac{dz}{z} \frac{x}{z} P_{qq}\left(\frac{x}{z}\right) F_2(z, Q^2)$$

- kleine x: Gluondichte dominiert das Proton →

$$\frac{\partial F_2(x, Q^2)}{\partial \ln Q^2} = \frac{\alpha_s(Q^2)}{2\pi} \int_x^1 \frac{dz}{z} \frac{x}{z} 2z P_{qg}\left(\frac{x}{z}\right) g(z, Q^2) \sum_i Q_i^2$$

5.6 PARTONVERTEILUNGEN AUS F_2

Typische Parametrisierungen der Abhängigkeit von F_2 Ergebnis (Beispiel):
 von den Partonverteilungen $f_i(x, Q^2)$:

$$q_v = A \cdot x^B \cdot (1-x)^C \cdot (1-Dx)$$

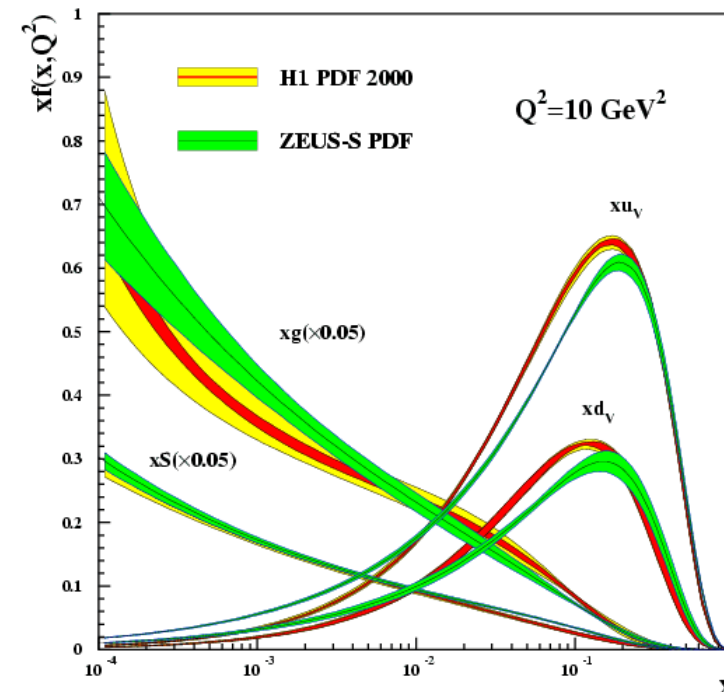
$$q_s = E \cdot x^F \cdot (1-x)^G \cdot (1+Hx + Ix^2 + Jx^3)$$

Durch Variation der Parameter kann die Vorhersage von F_2 an die Daten angepasst werden. Der optimale Parametersatz liefert dann die Partonverteilungen (PDFs) des Protons.

(Anmerkung: Der theoretische Ansatz verlangt, dass die PDFs bei einer kleinen Startskala Q_0^2 angenommen und dann mithilfe der Evolutionsgleichungen zu hohen Skalen $Q^2 > Q_0^2$ entwickelt werden.)

Probleme:

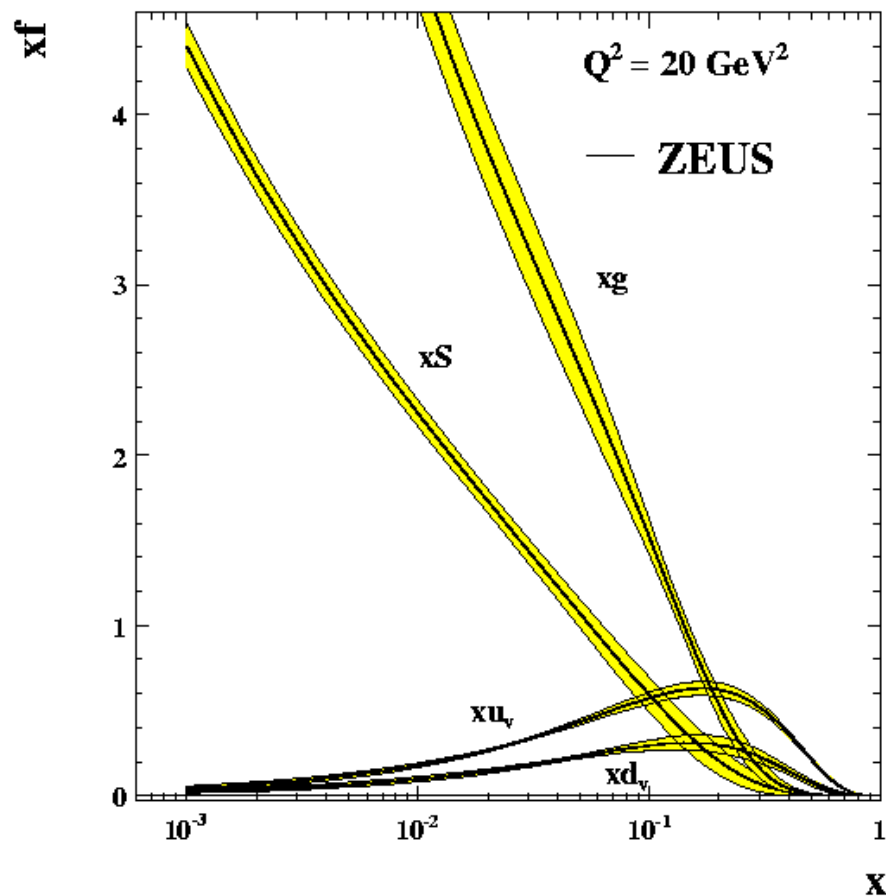
- Anzahl der Parameter gross!
- Auswahl der Datensätze (fixed-target, Neutrino, Myon, HERA, Drell-Yan etc.).
- Abschätzung der Unsicherheiten.
- ...



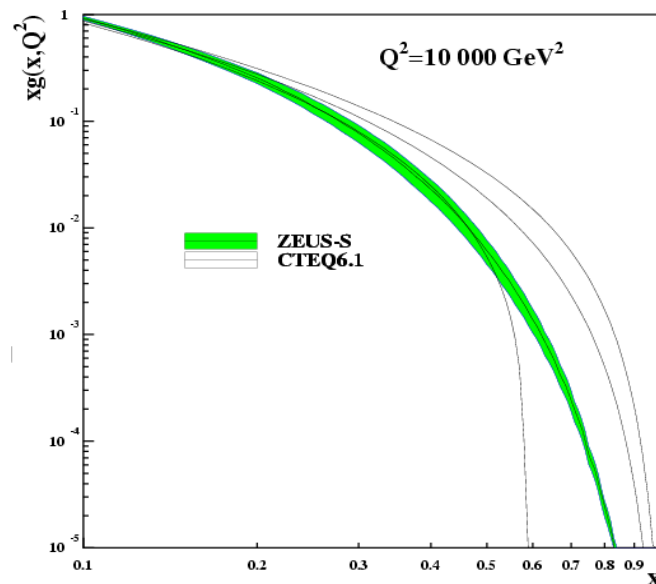
- Unterschiede durch verschiedene Datensätze und verschiedene Parametrisierungen.
- Verschiedene Gruppen: CTEQ, MRST, Alekhin, H1, ZEUS
- Unsicherheiten von wenigen Prozent (u bei moderaten x) bis 100% (g bei hohen x)
 → Problem für LHC!

5.6 PARTONVERTEILUNGEN AUS F_2

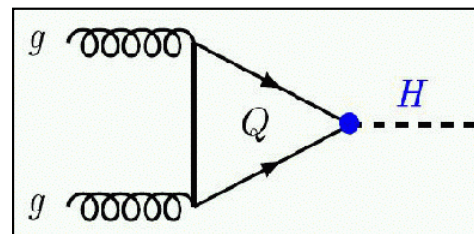
“Ehrlichere” Darstellung: Man beachte das starke Ansteigen des Sees und der Gluonen zu kleinen x hin!



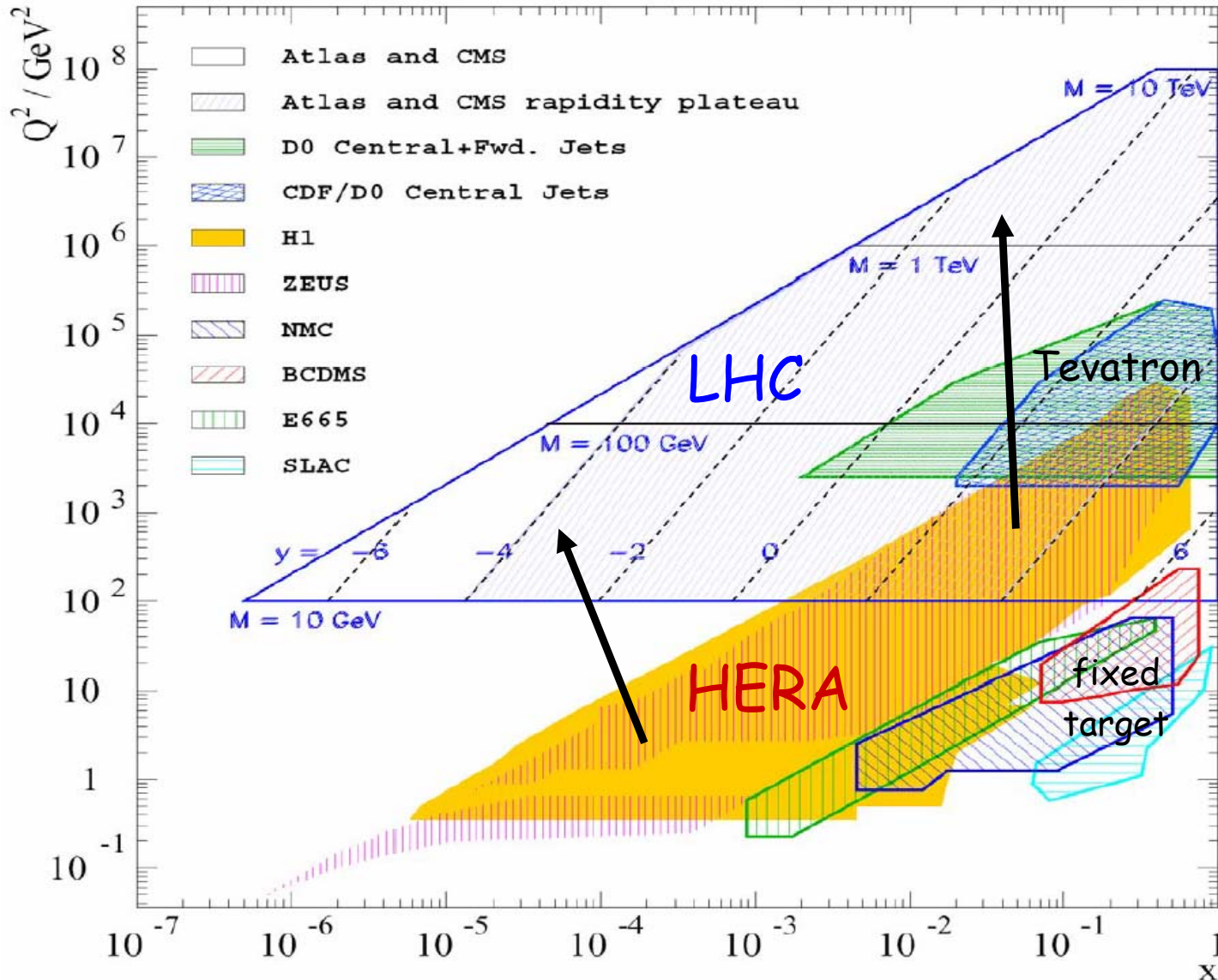
Zur Unsicherheit der Gluondichte:



Relevanz für z.B. Higgs-Produktion bei LHC



Kinematische Regionen: HERA im Vergleich mit LHC



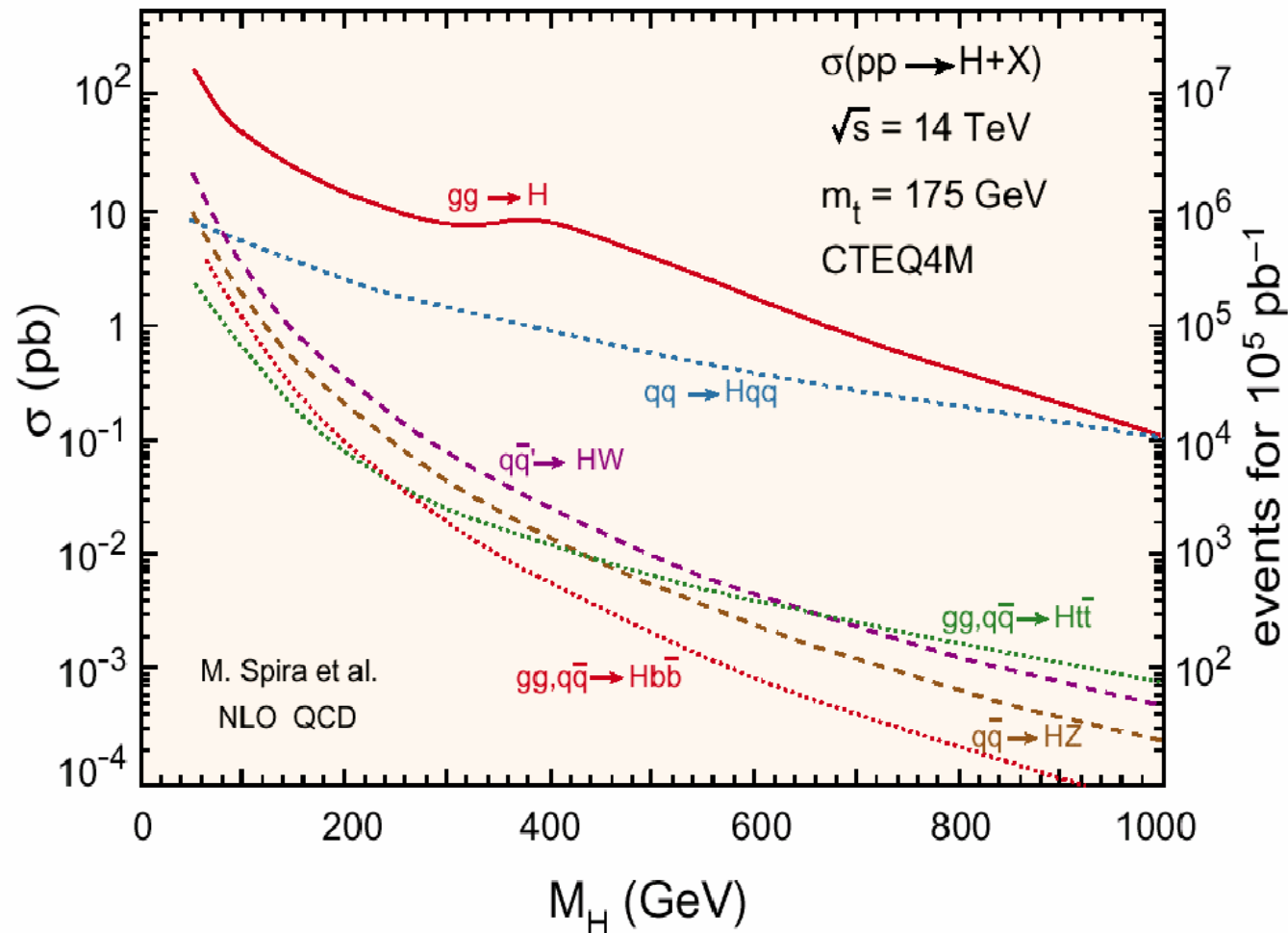
- Protonstruktur direkt gemessen für großen Teil des LHC-Phasenraums

- QCD-Evolution erfolgreich

-> sichere Extrapolation zu großem Q^2 oder niedrigem x

-> gute LHC-Vorhersagen

Beispiel: Higgs-Wirkungsquerschnitt am LHC



Higgs = essentiell für
Verständnis der Massen!
(später)

Kenntnis der Gluon- und Quark-Verteilungen essentiell!

5.6 α_s IN SKALENVERLETZUNGEN VON F_2

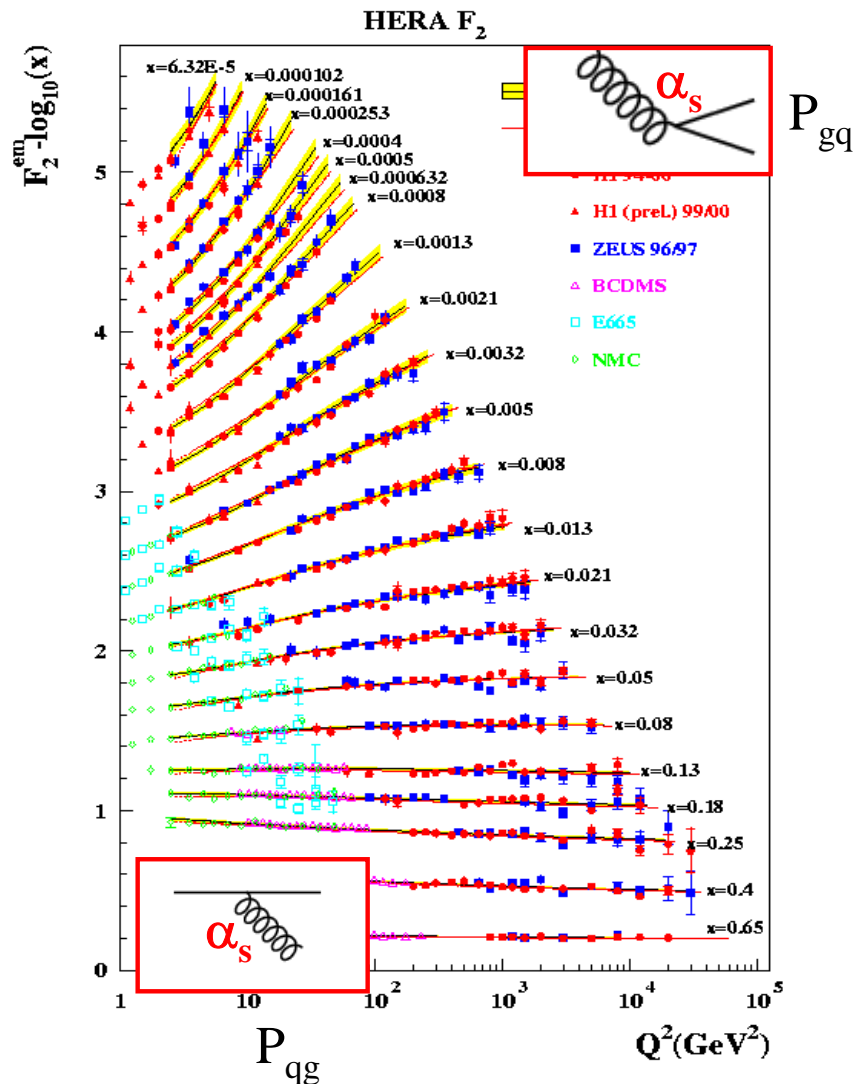
Erinnerung: Strukturfunktion F_2 :

$$\sigma_{ep} \propto F_2(x, Q^2) \approx x \sum_{i=q, \bar{q}} f_i(x, Q^2) \cdot q_i^2$$

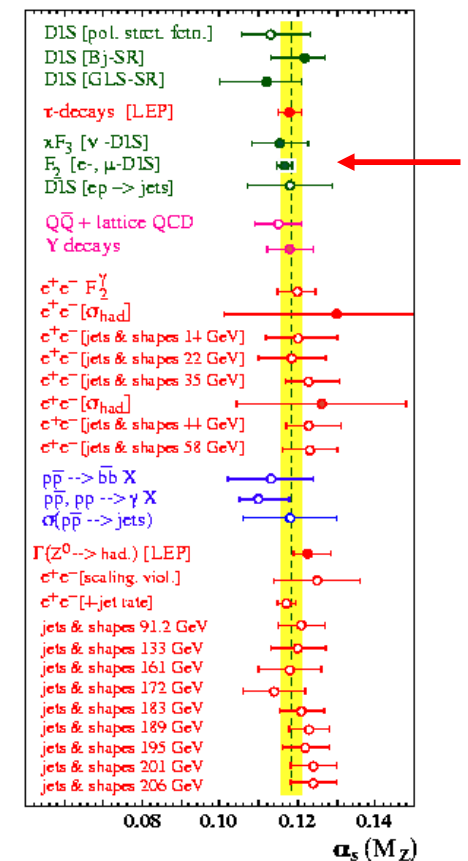
Wiederholung Theorie:

Steigung $\frac{dF_2(x, Q^2)}{d \ln Q^2} \propto -\alpha_s \cdot P_{qg} \cdot F_2(x, Q^2) + \alpha_s \cdot P_{gq} \cdot g(x, Q^2)$

Bei bekannter Strukturfunktion F_2 (und ihrer Ableitung), bekannter Gluondichte g und bekannten Splitting-Funktionen P kann $\alpha_s(Q^2)$ extrahiert werden (beachte: Q^2 ist einzige harte Skala im Prozess).



Ergibt einen sehr genauen Wert für die starke Kopplung!



5.6 QPM UND SUMMENREGELN

Umbenennung: $u(x)dx$, $d(x)dx$ etc. ist Wahrscheinlichkeit, ein u, d -Quark mit Impulsanteil x zu finden.

Wir unterscheiden Valenzquarks uud und Seequarks aus Fluktuationen: uu, dd, ss, \dots . Damit und den als bekannt angenommenen Quarkladungen kann man die Strukturfunktion des Protons F_2^{ep} schreiben als:

$$F_2^{ep}(x) = x \left\{ \frac{4}{9} [u(x) + \bar{u}(x)] + \frac{1}{9} [d(x) + \bar{d}(x) + s(x) + \bar{s}(x)] \right\}$$

Annahme von Isospin-Invarianz ergibt beim Übergang zum Neutron:

$$u^n(x) = d^p(x) \equiv d(x), \quad d^n(x) = u^p(x) \equiv u(x)$$

$$s^n(x) = s^p(x) \equiv s(x)$$

Also:

$$F_2^{ep}(x) = x \left\{ \frac{4}{9} [d(x) + \bar{d}(x)] + \frac{1}{9} [u(x) + \bar{u}(x) + s(x) + \bar{s}(x)] \right\}$$

Integration über x ergibt einige "Summenregeln":

$$\int_0^1 dx \left\{ \frac{2}{3} [u(x) - \bar{u}(x)] - \frac{1}{3} [d(x) - \bar{d}(x)] \right\} = 1 \quad (p)$$

$$\int_0^1 dx \left\{ \frac{2}{3} [d(x) - \bar{d}(x)] - \frac{1}{3} [u(x) - \bar{u}(x)] \right\} = 0 \quad (n)$$

Addition/Subtraktion dieser beiden Gleichungen:

$$\int_0^1 dx [u(x) - \bar{u}(x)] = 2 \quad \int_0^1 dx [d(x) - \bar{d}(x)] = 1$$

Da das Proton die Strangeness 0 hat muss gelten:

$$\int_0^1 dx [s(x) - \bar{s}(x)] = 0$$

Interessant: Impulssummenregel:

$$\int_0^1 dx \cdot x \cdot \{u(x) + \bar{u}(x) + d(x) + \bar{d}(x) + s(x) + \bar{s}(x)\} = 1 - \varepsilon$$

Laut QPM sollte ε 0 sein. Vernachlässigung von s :

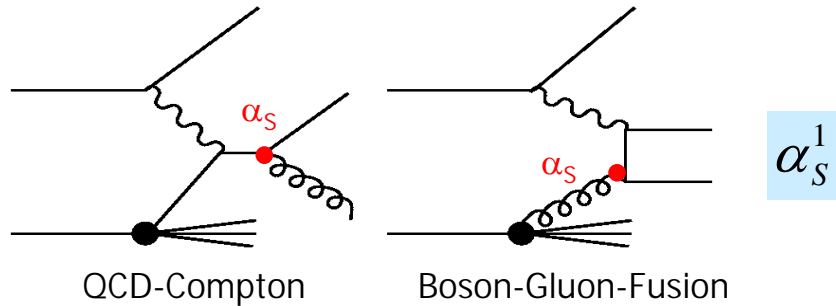
$$F_2^{eN} = \frac{1}{2} (F_2^{ep} + F_2^{en}) = \frac{5}{18} x [u(x) + \bar{u}(x) + d(x) + \bar{d}(x)]$$

$$\frac{18}{5} \int_0^1 F_2^{eN}(x) dx = 1 - \varepsilon$$

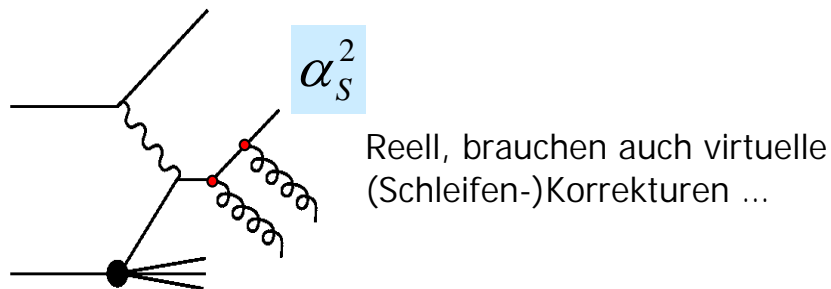
Experimentell: Wert des Integrals ca. 0.5! Den restlichen Impuls tragen die Gluonen! Da sie elektrisch neutral sind, tragen sie nicht zur EM-Struktur (also zu F_2) bei.

5.6a α_s AUS JETS IN DIS

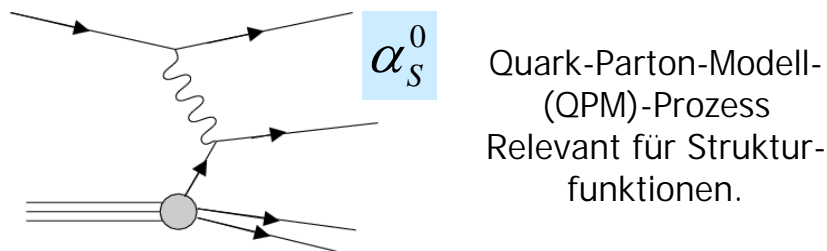
Wir betrachten folgende Prozesse in ep-Streuung



... und die Korrekturen höherer Ordnungen:



“Uninteressant” hingegen ist:



Wirkungsquerschnitt: Reihenentwicklung in α_s :

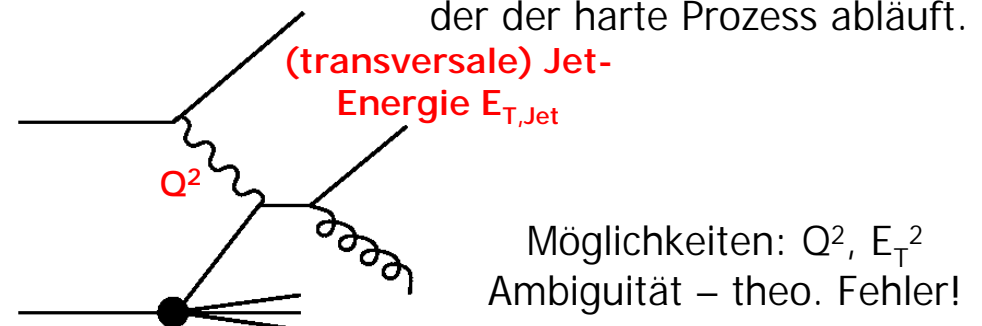
$$\sigma = \sum_{n=1}^{\infty} \alpha_s^n \cdot C_n = \alpha_s^1 \cdot C_1 + \alpha_s^2 \cdot C_2$$

Beitrag $n=0$ liefert kein α_s . Experimentell: Breit-Bezugssystem!
 Koeffizienten C_n berechnen (später)
 NLO=niedrigste (nullte)+erste Ordnungen

Vier wichtige Fragen:

1. Was ist die relevante Skala μ für α_s ?
2. Wie kann man die Prozesse der Ordnung α_s^0 ausschliessen (wenn man will)?
3. Was sind die Koeffizienten C_n (später)?
4. Wie sehen solche Ereignisse im Detektor aus?

Zu 1.) Relevante Skala: Wähle hohe Energieskala, bei der der harte Prozess abläuft.



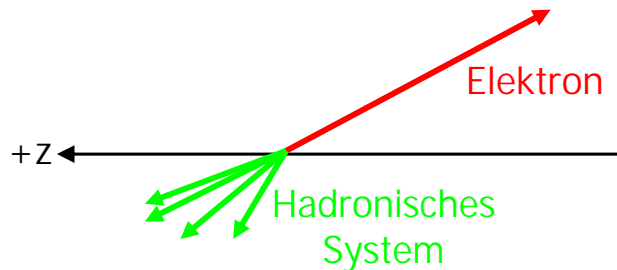
5.6a α_s AUS JETS IN DIS: E_T , BREIT-SYSTEM

Zu 2.) Warum betrachtet man bei Hadron-Collidern wie HERA oder Tevatron immer die transversale Energie E_T ?

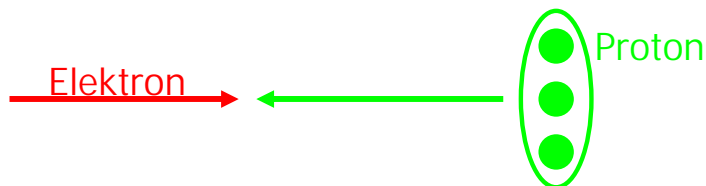
- Im Anfangszustand ist die Summe der Transversalenergien = 0:



- Nach der Wechselwirkung gibt es Impulse senkrecht zur z-Achse (z.B. gestreutes Elektron) – diese charakterisieren also die Wechselwirkung!



- Aber man weiss nicht, welcher Bruchteil der (rein longitudinalen) Protonenergie in die Wechselwirkung floss (Quark-Bild!) – die Schwerpunktsenergie ist letztlich unbekannt!



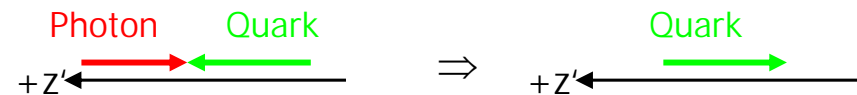
Noch zu 2.) Wie unterdrücke ich experimentell die Anteile der Ordnung α_s^0 ?

QPM-Ereignis im Labor-System:



→ das Quark (= der Jet) hat Transversalimpuls!

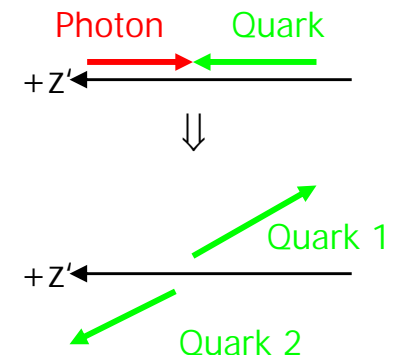
Jetzt Lorentz-Boost so, dass Photon und Quark auf der z'-Achse liegen:



Breit-Bezugssystem ("brickwall system"):

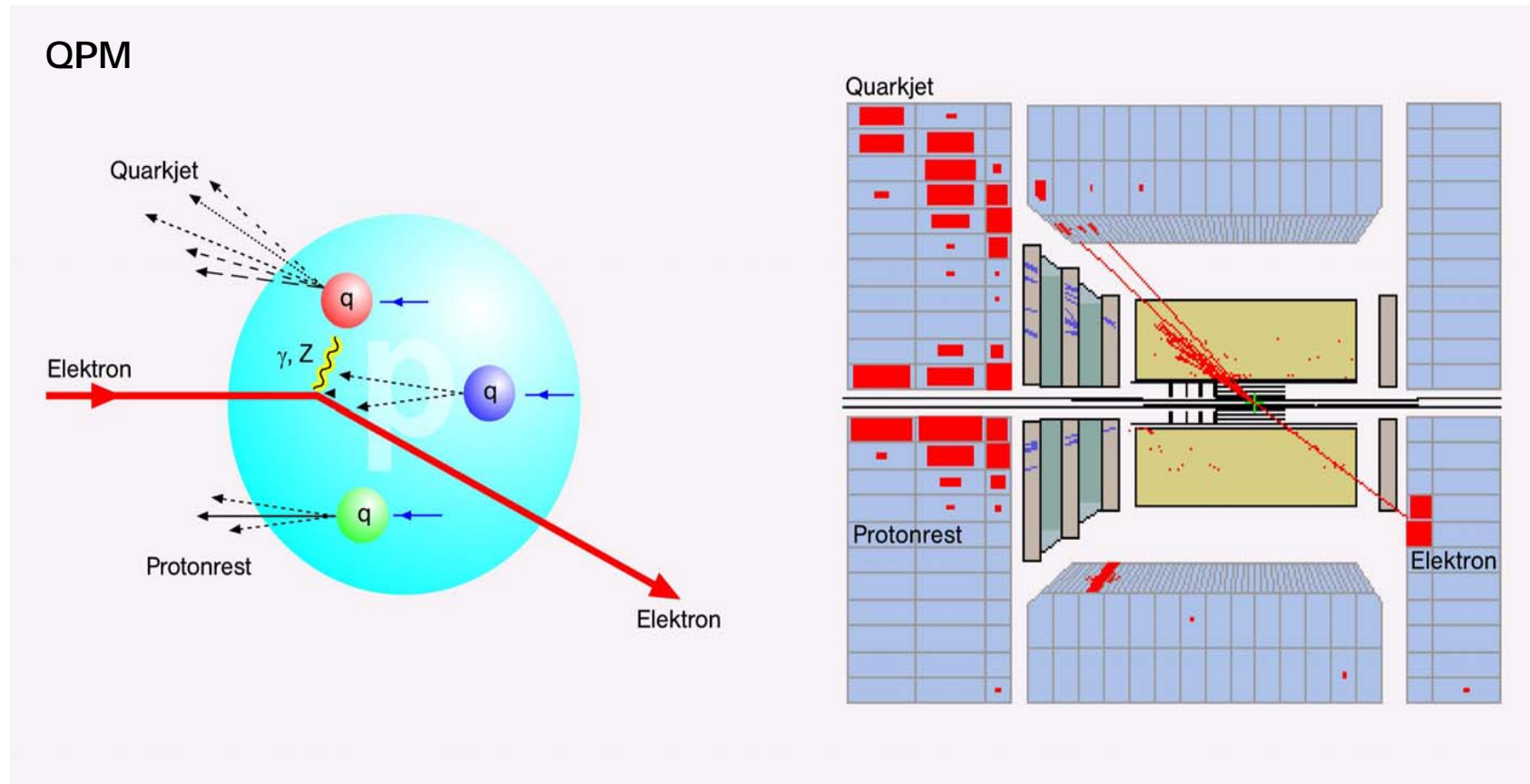
$$2x\vec{P} + \vec{q} = 0$$

QPM-Ereignisse geben KEINEN hadronischen (Jet)-Transversalimpuls relativ zu z' → E_T -Cut selektiert also "QCD"-Ereignisse (QCDC, BGF), denn:



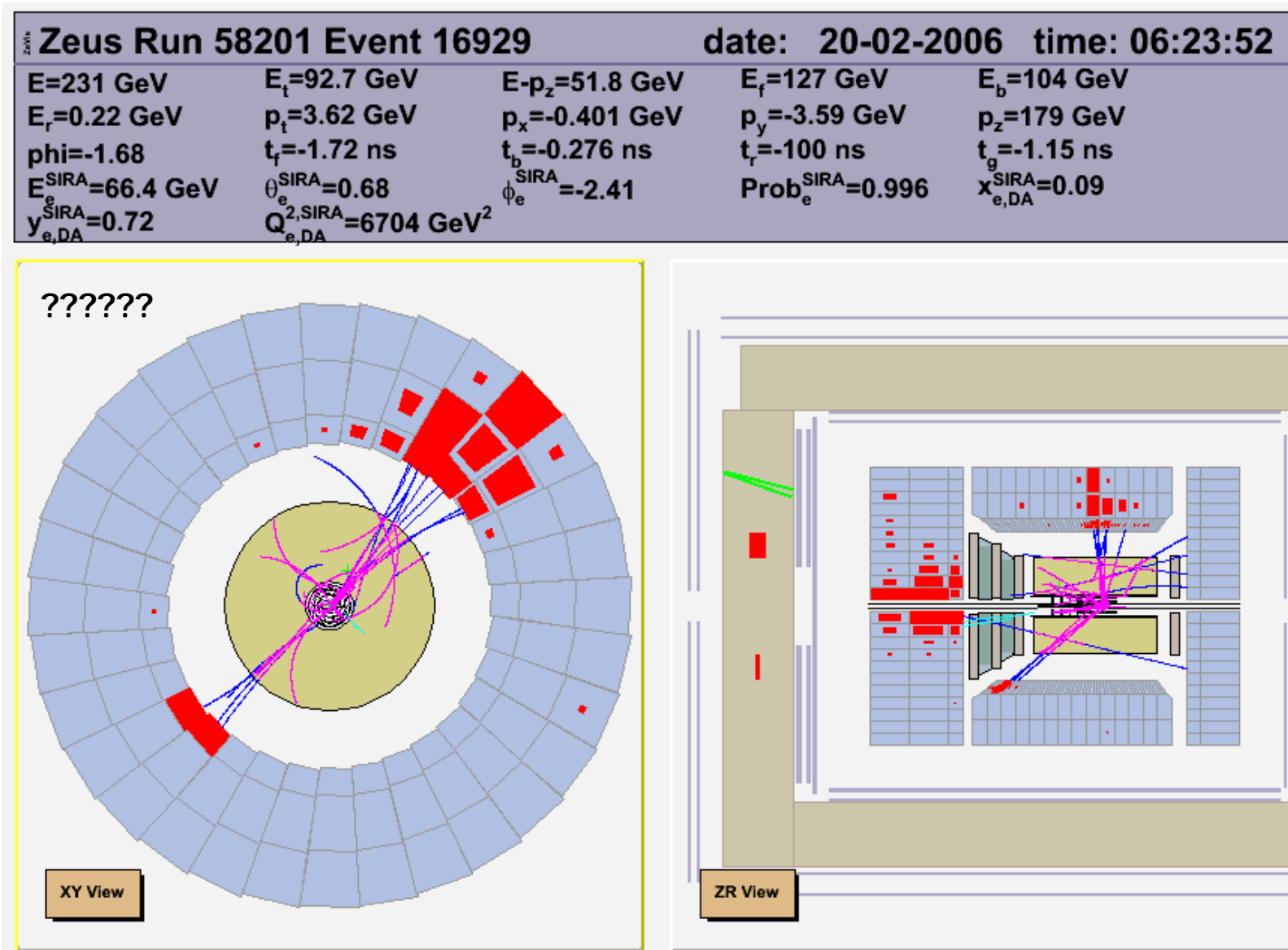
5.6a α_s AUS JETS IN DIS: EREIGNISSE

Zu 4.) Wie sehen solche Ereignisse im Detektor aus?



5.6a α_s AUS JETS IN DIS: EREIGNISSE

Zu 4.) Wie sehen solche Ereignisse im Detektor aus?



5.6a α_s AUS JETS IN DIS

Zu 3.) Was sind die Koeffizienten C_n ?

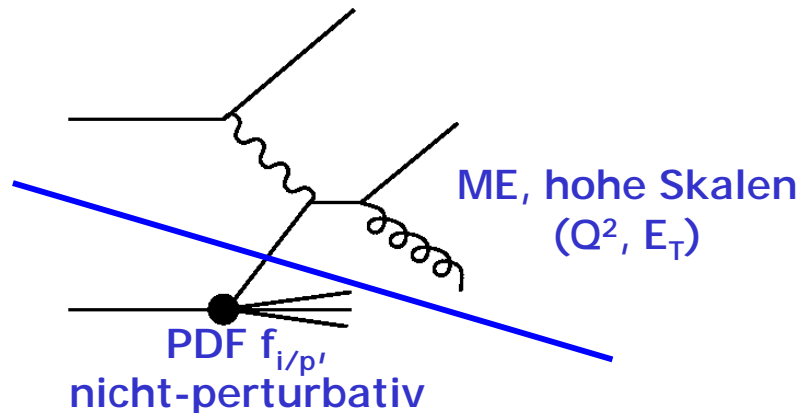
$$\sigma = \sum_{n=1}^{\infty} \alpha_s^n \cdot C_n = \sum_{n=1}^{\infty} \alpha_s^n \cdot PDF \otimes ME$$

Partonverteilungen

Faltung

Matrixelement
(WQS) der Parton-
Parton-Steuerung

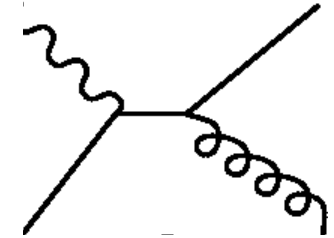
Faltung der "weichen" Anteile (PDF) und der harten (ME) \rightarrow **Prinzip der Faktorisierung!**



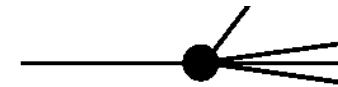
$$\begin{aligned} \sigma &= \sum_{n=1}^{\infty} \alpha_s^n \cdot C_n = \sum_{n=1}^{\infty} \alpha_s^n \cdot PDF \otimes ME = \\ &= \sum_{n=1}^{\infty} \alpha_s^n \cdot \sum_i f_{i/p} \otimes \hat{\sigma}_{i,n} = \sum_{n=1}^{\infty} \alpha_s^n \cdot \sum_i \int dx f_{i/p} \hat{\sigma}_{i,n} \end{aligned}$$

Salopp gesagt: Man kann beweisen (Faktorisierungstheoreme), dass man nur

- ME berechnen muss (leicht in pQCD, hängt von einlaufendem Impuls x ab)



- PDFs kennen muss (z.B. aus F_2)



- und dann beides "zusammenkleben" kann, um zum WQS zu kommen.

Die Faktorisierungseigenschaft ist sehr fundamental und keineswegs selbstverständlich!

5.6a α_s AUS JETS IN DIS: EXTRAKTION

Wie wird nun die starke Kopplung gemessen?

Einfachste Methode:

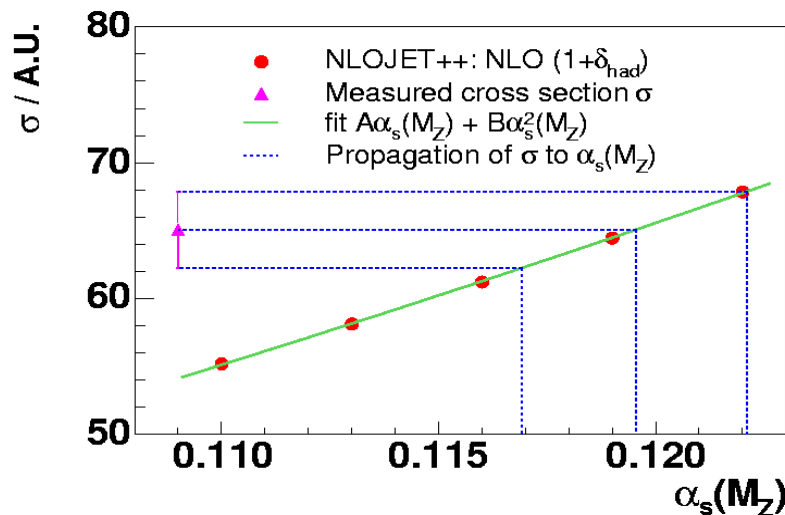
- Berechne den Wirkungsquerschnitt σ_i für jede Observable i als Funktion von $\alpha_s(M_Z)$.

$$\sigma_i^{theo}(\alpha_s(\mu_R^2)) = C_1 \cdot \alpha_s(\mu_R^2) + C_2 \cdot \alpha_s^2(\mu_R^2)$$

$$\sigma_i^{theo}(\alpha_s(M_Z^2)) = C'_1 \cdot \alpha_s(M_Z^2) + C'_2 \cdot \alpha_s^2(M_Z^2)$$

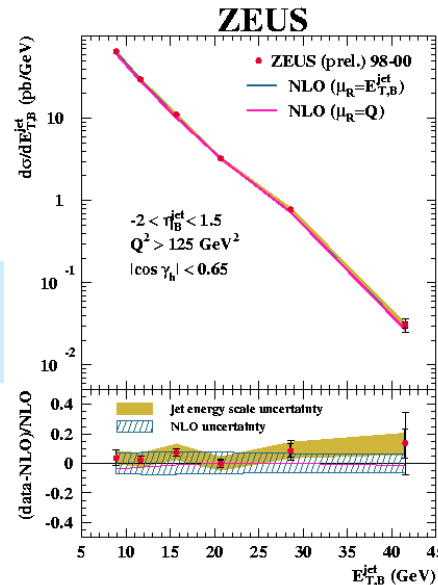
$$\alpha_s(Q^2) = \frac{\alpha_s(M_Z^2)}{1 + \frac{(33 - 2n_f)}{12\pi} \alpha_s(M_Z^2) \ln \frac{Q^2}{M_Z^2}}$$

- Interpoliere die quadratische Funktion in $\alpha_s(M_Z)$:



- Bestimme das zum gemessenen σ_i^{data} gehörende $\alpha_s(M_Z)$.
- Kombiniere ggf. verschiedene $\alpha_s(M_Z)$ -Werte.
- Oder evolviere zur "richtigen" Skala μ^2 .

Ergebnisse solcher Analysen bei HERA:

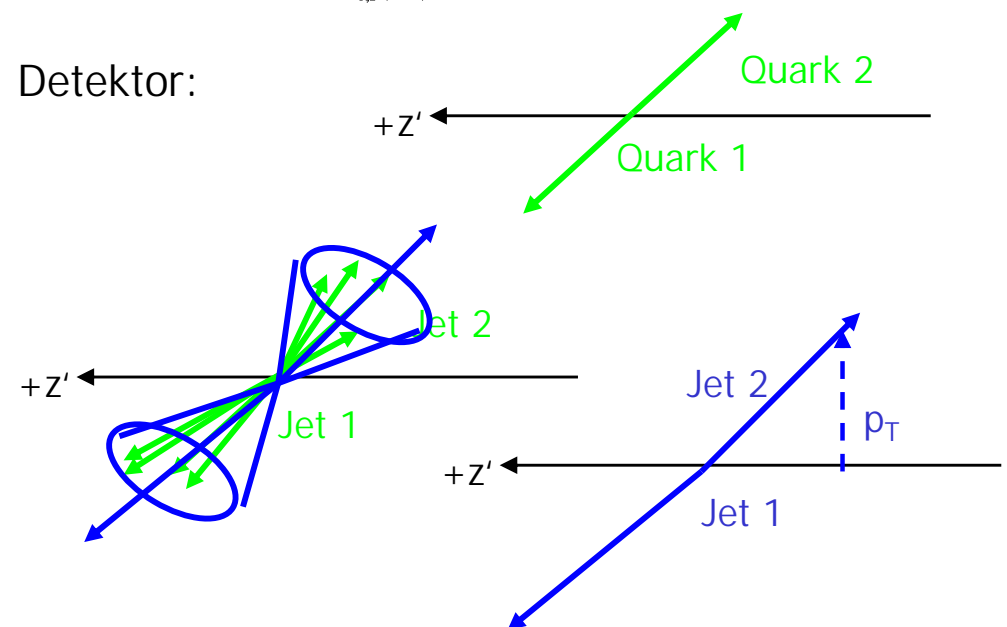


Gemessener Wirkungsquerschnitt für Produktion von 1+ Jets in einem bestimmten kinematischen Bereich.

Daten verglichen mit QCD-Rechnung in nächstführender Ordnung, NLO.

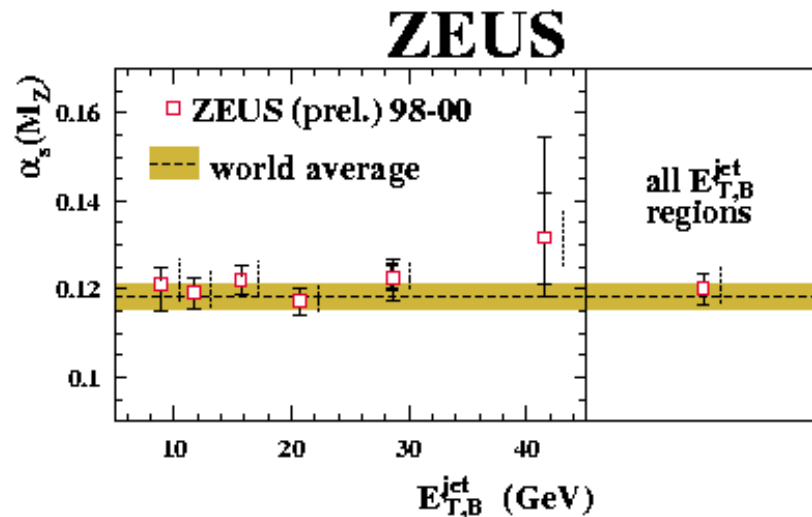
Unten: Verhältnis (Daten-NLO)/NLO Mass für Qualität der Beschreibung der Daten durch Theorie.

Detektor:

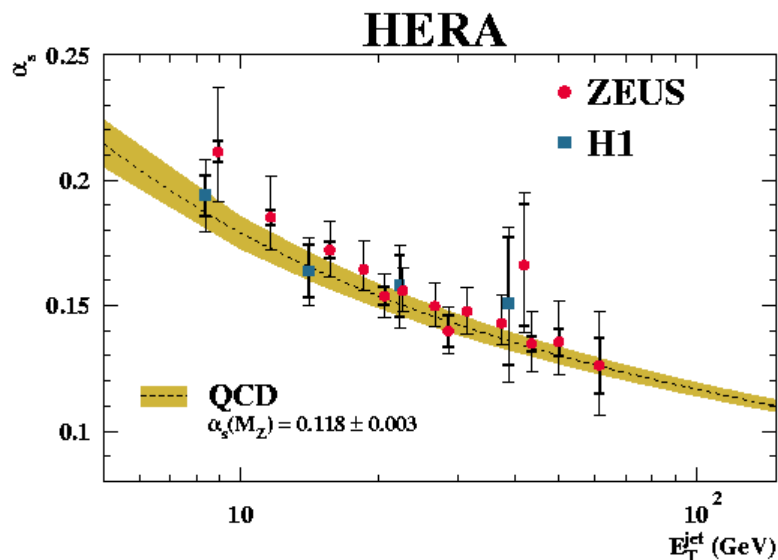


5.6a α_s AUS JETS IN DIS: EXTRAKTION

Resultierende $\alpha_s(M_Z)$ -Werte und ihre Kombination:



Evolviert zur Skala E_T :



Man sieht also:

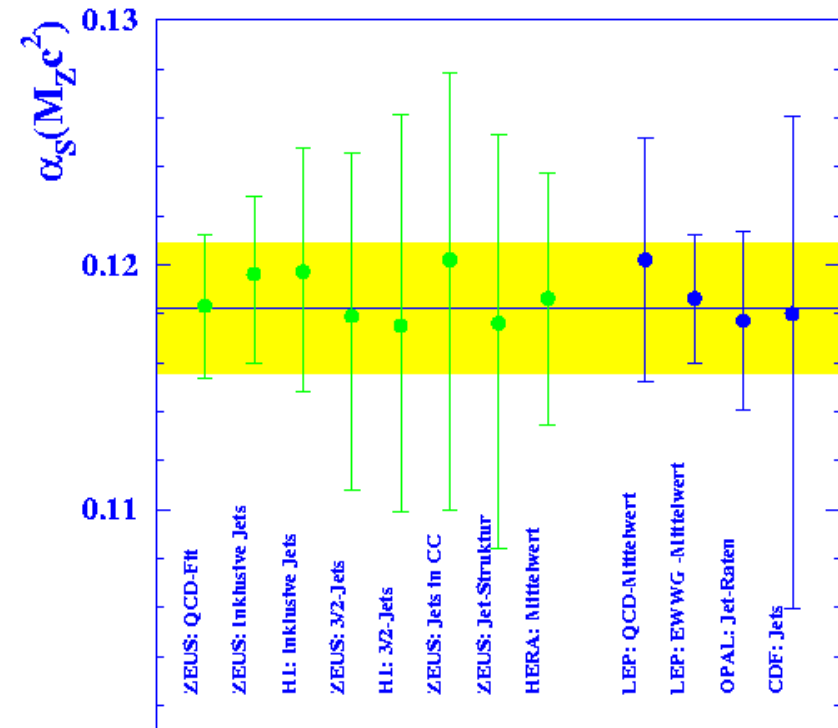
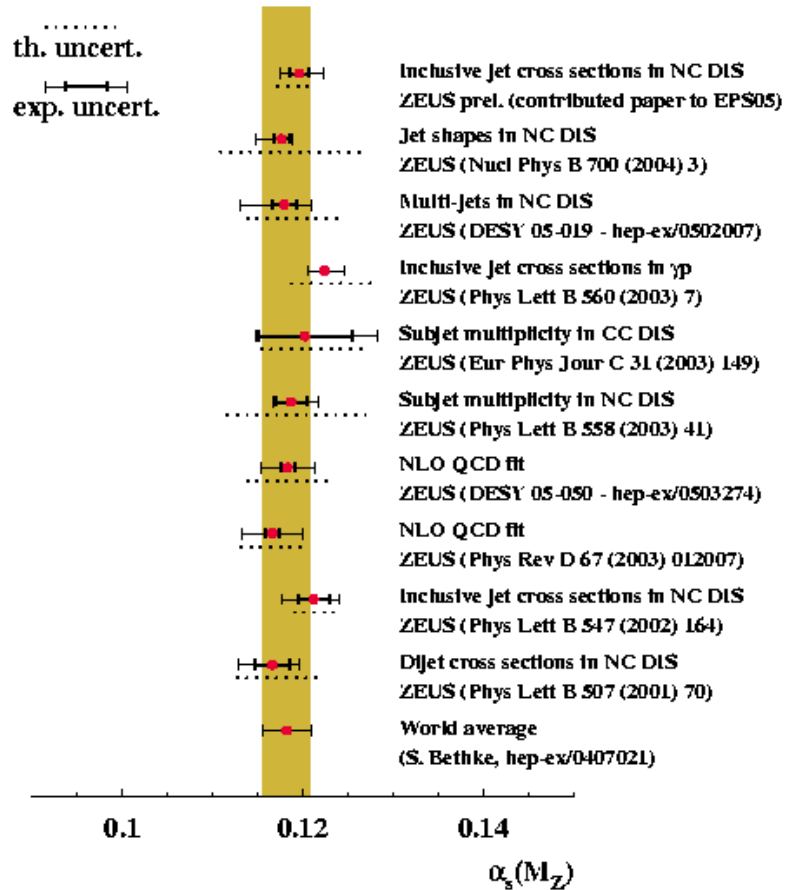
1. Die Werte verschiedener HERA-Messungen stimmen gut miteinander überein (Ufffff!)
2. Die Energieabhängigkeit wird gut von der Theorie (QCD in NLO) beschrieben:

$$\alpha_s(Q^2) = \frac{4\pi}{\beta_0 \ln \frac{Q^2}{\Lambda_{QCD}^2}} \left[1 - \frac{2\beta_1}{\beta_0^2} \frac{\ln \left(\ln \frac{Q^2}{\Lambda_{QCD}^2} \right)}{\ln \frac{Q^2}{\Lambda_{QCD}^2}} \right]$$

Führende Ordnung (LO)

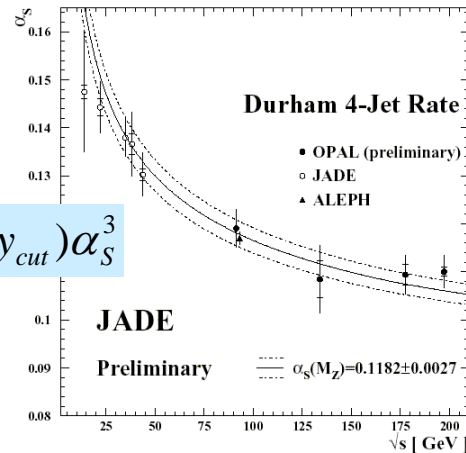
$\beta_0 = 11 - 2/3n_f$, $\beta_1 = 51 - 19/3n_f$
(Renormierungsgruppengleichung)

5.6a α_s bei HERA



ZUSAMMENFASSUNG

Paradigmatische Bestimmung der starken Kopplung in der Elektron-Positron-Vernichtung in 4 Jets:



$$R_4(y_{cut}) \propto A(y_{cut})\alpha_s^2 + B(y_{cut})\alpha_s^3$$

Tiefunelastische Streuung: Aus der Hadronspektroskopie motivierte Annahmen:

- Es gibt drei Konstituenten mit Spin-1/2 (Valenzquarks u, u, d).
- Ladungen: $Q_u = 2/3$, $Q_d = -1/3$.
- Diese tragen Bruchteile x_i , $i=1,2,3$, $0 < x_i < 1$, des Protonimpulses.

Modifikation des $e\mu$ -WQS:

$$\left. \frac{d\sigma}{dQ^2} \right|_{eq} = \frac{4\pi\alpha^2}{(Q^2)^2} \left(1 - \frac{Q^2}{\tilde{s}_q} + \frac{1}{2} \frac{Q^4}{\tilde{s}_q^2} \right) \cdot Q_q^2$$

$$\sigma_{ep} = \sum_i \sigma_{eq_i}$$

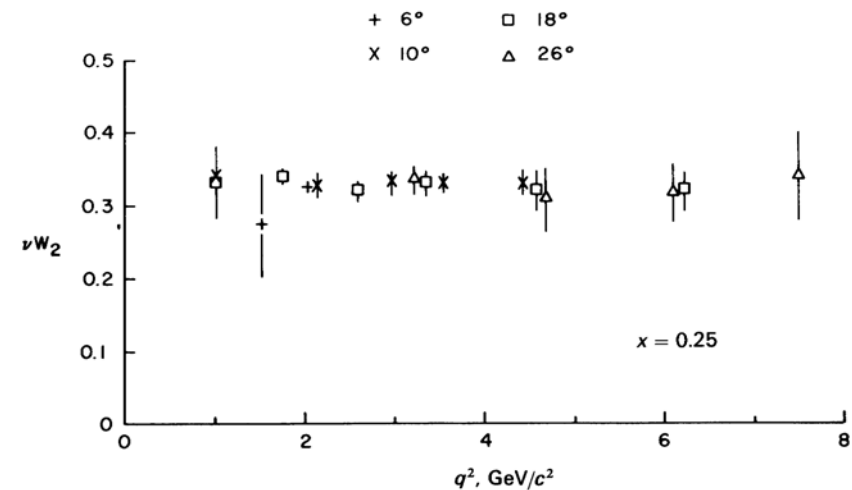
Mit Definition der kinematischen Variablen x , y , Q^2 und der Strukturfunktionen F_2 etc.:

$$F_2(x) \equiv x \cdot \sum_i Q_i^2 \cdot f_i(x)$$

$$F_2(x) = 2xF_1(x)$$

$$\left. \frac{d^2\sigma}{dydx} \right|_{ep} = \frac{4\pi\alpha^2}{(Q^2)^2} s \left((1-y)F_2(x) + xy^2F_1(x) \right)$$

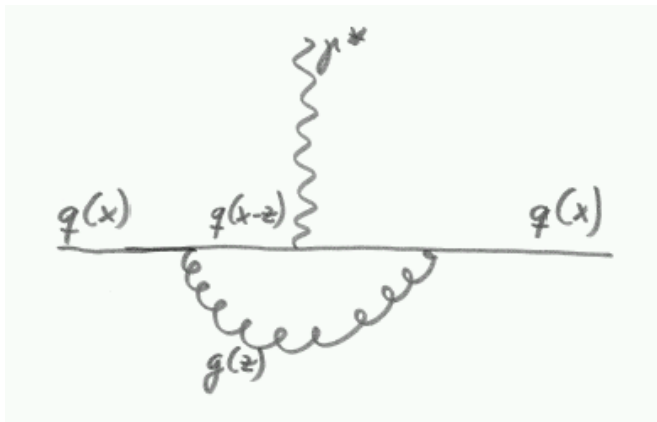
F_2 unabhängig von Q^2 – Skalenverhalten!



ZUSAMMENFASSUNG

Durch Gluonen und Quantenfluktuationen kommt es zu Skalenverletzungen.

Grund: Bei verändertem Auflösungsvermögen Q^2 sieht man mehr/weniger Strukturen auf kleinen Skalen.



Aktuelle präzise Messungen von F_2 von HERA sehr gut mit QCD-Theorie verträglich!

wichtig für LHC!

